



**MERMER TOZ ATIKLARIN  
ASFALT BETONUNDA  
FİLLER MALZEMESİ OLARAK  
KULLANILMASININ ARAŞTIRILMASI**

**Serdal TERZİ**

**Yüksek Lisans Tezi  
YAPI EĞİTİMİ ANABİLİM DALI  
Isparta-2000**

T.C.  
SÜLEYMAN DEMİREL ÜNİVERSİTESİ  
FEN BİLİMLERİ ENSTİTÜSÜ

**MERMER TOZ ATIKLARIN ASFALT BETONUNDA FİLLER  
MALZEMESİ OLARAK KULLANILMASININ ARAŞTIRILMASI**

SERDAL TERZİ

20143

**YÜKSEK LİSANS TEZİ  
YAPI EĞİTİMİ ANABİLİM DALI**

**ISPARTA 2000**

Fen Bilimleri Enstitüsü Müdürlüğü'ne

Bu çalışma jurimiz tarafından YAPI EĞİTİMİ ANABİLİM DALI'nda YÜKSEK  
LİSANS TEZİ olarak kabul edilmiştir.

Başkan: Prof.Dr. İlhan SÜTAŞ


Üye : Prof.Dr. Süleyman KODAL

Üye : Doç.Dr. Mustafa KARAŞAHİN

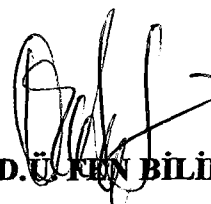


## ONAY

Bu tez 07/07/2000 tarihinde Enstitü Yönetim Kurulu'na belirlenen yukarıdaki juri  
uyeleri tarafından kabul edilmiştir.

..../.../2000

S.D.Ü FEN BİLİMLERİ ENSTİTÜSÜ MÜDÜRÜ



## İÇİNDEKİLER DİZİNİ

<b>İÇİNDEKİLER DİZİNİ .....</b>	<b>i</b>
<b>ÖZET .....</b>	<b>iii</b>
<b>ABSTRACT .....</b>	<b>iv</b>
<b>ÖNSÖZ VE TEŞEKKÜR .....</b>	<b>v</b>
<b>ŞEKİLLER DİZİNİ .....</b>	<b>vi</b>
<b>ÇİZELGELER DİZİNİ .....</b>	<b>vii</b>
<b>1. GİRİŞ .....</b>	<b>1</b>
1.1. Esnek Üstyapı Tabakaları .....	2
1.2. Bitümlü Karışımının Tasarımı .....	4
1.3. Esnek Yol Üst Yapılarında Filler Malzemesinin Kullanımı ve Önemi .....	5
1.4. Çalışmanın Amacı ve İzlenen Yol .....	7
<b>2. KAYNAK BİLGİSİ .....</b>	<b>9</b>
<b>3. MATERİYAL VE METOT .....</b>	<b>16</b>
3.1. Materyal .....	16
3.1.1. Mineral Agrega .....	16
3.1.2. Mineral Filler .....	17
3.1.2.1. Taş tozu .....	17
3.1.2.2. Mermer Toz Atığı .....	17
3.1.2.3. Mermer Tozu .....	17
3.1.2.4. Asfalt Çimentosu .....	18
3.1.2.5. Cihazlar .....	18
3.2. Metot .....	18
3.2.1. Mineral Agregaların Fiziksel Özelliklerinin Belirlenmesi .....	18
3.2.1.1. İri Agrega İçin Özgül Ağırlık Deneyi .....	18
3.2.1.2. İnce Agrega İçin Özgül Ağırlık Deneyi .....	19
3.2.2. Mineral Fillerin Fiziksel Özelliklerinin Belirlenmesi .....	20
3.2.2.1. Hidrometre Deneyi .....	20
3.2.2.2. Asfalt Çimentosunun Fiziksel Özelliklerinin Belirlenmesi .....	21
3.2.2.3. Penetrasyon Deneyi .....	21
3.2.2.4. Duktilit Deneyi .....	22
3.2.4. Deney Numunelerinin Hazırlanmasında Kullanılacak Agrega Gradasyonunun Belirlenmesi .....	24
3.2.5. Marshall Stabilite Deney Numunelerinin Hazırlanması .....	25
3.2.6. Çalışmada Kullanılan Diğer Bağıntılar .....	25
3.2.6.1. Farklı Bitüm Miktarlarında Karışımın Maksimum Özgül Ağırlığı .....	25
3.2.6.2. Sıkıştırılmış Kaplama Karışımındaki Boşluk Hacmi Yüzdesi .....	26
3.2.6.3. Sıkıştırılmış Karışımındaki Hava Boşluğu ve Asfaltla Dolu Boşluk Yüzdesinin Hesaplanması .....	26
3.2.7. Marshall Stabilite Deneyi .....	27
3.2.8. Optimum Bitüm Yüzdesinin Belirlenmesi .....	28
3.2.9. Plastik Deformasyon Deneyi .....	28
3.2.10. Optimum Filler Yüzdesinin Belirlenmesi .....	30
3.2.10.1. Filler/Bitüm Oranına Göre Optimum Filler Yüzdesinin Belirlenmesi .....	30
3.2.10.2. Filler Oranına Göre Optimum Filler Yüzdesinin Belirlenmesi .....	30
<b>4. ARAŞTIRMA BULGULARI .....</b>	<b>31</b>

4.1.	Mineral Agreganın Fiziksel Özellikleri .....	31
4.2.	Hidrometre Deneyi Bulguları.....	31
4.3.	Asfalt Çimentosunun Özellikleri.....	32
4.4.	Numunelerde Kullanılacak Agrega Gradasyonu.....	32
4.5.	Optimum Bitüm Yüzdesi .....	34
4.6.	Optimum Filler Yüzdesi.....	38
4.6.1.	Filler/Bitüm Oranına Göre Optimum Filler Yüzdesi .....	38
4.6.2.	Filler Oranına Göre Optimum Filler Yüzdesi.....	41
4.7.	Mermer Atıklarının Tekrarlı İndirekt Çekme Deneyi ile Belirlenen Mekanik Özellikleri.....	43
5.	SONUÇLAR VE ÖNERİLER .....	49
	KAYNAKLAR.....	50
	ÖZGEÇMİŞ.....	53
	EKLER .....	54

## ÖZET

Bu çalışmada, mermerlerin düzgün geometrik şekil alabilmesi için kesilmesi esnasında ortaya çıkan mermer tozu atıklarının asfalt betonunda filler malzemesi olarak kullanılabilirliği araştırılmıştır.

Öncelikle aynı granülometri eğrisine sahip taş tozu ve mermer fillerli numuneler % 3.5, 4.0, 4.5, 5.0, 5.5 ve 6.0 oranlarında asfalt çimentosu kullanılarak hazırlanmıştır. Hazırlanan numunelere Marshall stabilite deneyi uygulanarak optimum bitüm yüzdesi belirlenmiştir. Daha sonra, belirlenen bitüm yüzdesi kullanılarak filler/bitüm oranına göre 4, 5, 6, 7 ve 8 oranlarında, filler oranı kullanılarak % 0, 2, 4, 6, 8 ve 10 oranlarında Marshall numuneleri hazırlanmış ve hazırlanan numunelere plastik deformasyon deneyine maruz bırakılarak birim deformasyonları belirlenmiştir. Elde edilen deformasyonlar ile filler/bitüm oranına ve filler oranına göre optimum filler yüzdesi tayin edilmiştir. Optimum filler yüzdesi ve optimum bitüm yüzdesi kullanılarak Isparta' da bulunan 2 farklı mermer fabrikasının atığı, taş tozu ve 7 ayrı cins mermerin filler malzemesi olarak kullanıldığı Marshall numuneleri hazırlanmış ve plastik deformasyon deneyi ile birim deformasyonları elde edilmiştir. Elde edilen deformasyonlar karşılaştırılmış ve mermer atıkları kullanılarak hazırlanan karışımların öğütülen mermer parçaları ile hazırlanan karışımlara göre birim deformasyonlarının alt ve üst sınırlar arasında olduğu görülmüştür. Fabrika atığı olarak alınan Burdur Bej türü mermerin birim deformasyonu, aynı tür mermerin öğütülerek kullanıldığı karışımlarla elde edilen birim deformasyon değeri ile karşılaştırıldığında çok yakın sonuçlar verdiği saptanmıştır. Bunun sonucu olarak, atık içerisinde bulunan diğer kimyasal ve metal atıkların birim deformasyon değeri üzerinde fazla bir etkisi olmadığı kanaatine varılmıştır.

Sonuç olarak, özellikle mermer tozunun yaygın olarak bulunduğu bölgelerde, taşıma ve kurutma maliyetlerinin taş tozu filler maliyetini geçmediği kesimlerde, asfalt betonu karışımlarda taş tozu yerine mermer tozunun filler malzemesi olarak kullanılabileceği kanaatine varılmıştır.

**ANAHTAR KELİMELER:** Mineral Filler, Asfalt Betonu, Mermer Atıkları, Marshall Stabilite Deneyi, Plastik Deformasyon

## ABSTRACT

This study deals with the use of the wastes of marble dust, collected during the shaping process of marble blocks, was investigated as mineral filler in asphalt mixtures.

The asphalt mixtures with marble and limestone dust fillers which has the same grading curve were prepared with asphalt cement with ratio of 3.5, 4.0, 4.5, 5.0, 5.5, and 6.0 %. Marshall stability test was carried out with the samples and percentage of optimum bitumen was calculated. Considering the ratio to 4.0, 5.0, 6.0, 7.0 and 8.0 filler/bitumen ratio, and 0, 2, 4, 6, 8, and 10 filler percentage, asphalt mixtures were prepared by means of the bitumen percentage, and unit deformations were determined with the help of plastic deformation test. Optimum filler percentage was determined according to filler/bitumen ratio and filler ratio. From two different marble wastes in Isparta, limestone dust and seven different types of marbles, Marshall samples were prepared with optimum filler and bitumen percentages, and unit deformations were determined with the by of plastic deformation test, and the unit plastic deformation results were compared. It was shown that results of mixtures with the marble wastes were between upper and lower of limits of the ground marbles. When compared the ground Burdur Beige type marble with the collected marble wastes from a marble factory, it showed similar that plastic deformation had almost the same values. As a result of this it was concluded that wastes which is in the form of chemical and metal does not affect the unit plastic deformation.

As a result, it was concluded that marble wastes could be used as mineral filler in asphalt mixtures where they are abundant and transportation and drying cost are lower than alternative materials.

**KEY WORDS:** Mineral Filler, Asphalt Mixtures, Marble Waste, Marshall Stability Test, Plastic Deformation

## ÖNSÖZ VE TEŞEKKÜR

Ülkemizde en çok tercih edilen esnek üstyapıların, kullanılan malzemelerin özelliğinden dolayı yapımı ve onarımı çok pahalıdır. Bu derece önemli ve pahalı bir yatırımın, artan araç trafiğini azaltmak üzere her geçen gün artması beklenen bir sonuktur.

Endüstrinin gelişmesi ile ortaya çıkan ve çevresel problemlere neden olan atıkların değerlendirilmesi, 20. yüzyılda olduğu gibi 21. yüzyılın önemli sorunlarından biri olacaktır. Mermer rezervlerinin buna bağlı olarak fabrikalarının çok sık karşılaşıldığı ülkemizde mermer atıkları neredeyse hiç değerlendirilememesi nedeniyle önemli bir sorundur.

Bu çalışmada mermer atıklarının esnek üstyapılarda filler malzemesi olarak kullanılabilirliği araştırılmış ve sonuçlar karşılaştırmalı olarak verilmiştir.

Çalışma boyunca her zaman yanında olan, destek ve görüşlerini esirgemeyen danışmanım Prof.Dr. Süleyman KODAL'a şükranları sunarım. Çalışmanın konusunu öneren ve en az bir danışmanın öğrencisine gösterebileceği büyük bir ilgi ile yapıçı eleştiri ve önerilerini esirgemeyen Doç.Dr. Mustafa KARAŞAHİN'e şükranları sunarım. Kendi geliştirdiği deney aletini kullanmama izin veren ve görüşleri ile çalışmama katkıda bulunan Arş.Gör.Dr. Mesut TIĞDEMİR'e ve yine görüş ve desteklerini esirgemeyen Prof.Dr. Ahmet ŞENTÜRK'e, Doç.Dr. S. Nilay KESKİN'e, Arş.Gör.Dr. Mehmet SALTAN'a, çalışmalarım esnasında hoşgörüsünü esirgemeyen ve bana her zaman destek olan bölüm başkanım Yrd.Doç.Dr. Celalettin BAŞYİĞİT' e ve çalışma arkadaşımı, laboratuarlarını kullanmama izin veren ve çalışmalarında yardımcı olan SDÜ Müh. Mim. Fakültesi İnşaat ve Maden Mühendisliği Bölümülerine ve Teknisyenlerine, ayrıca çalışmanın her safhasında anlayış ve manevi katkı gösteren Arş.Gör. Özlem GENÇER'e, bugünülerimi borçlu olduğum aileme sonsuz teşekkürlerimi sunarım.

## ŞEKİLLER DİZİNİ

	Sayfa
Şekil 1.1. Esnek üstyapı enkesiti (Ağar vd., 1998).....	1
Şekil 1.2. Tipik esnek üstyapı tabakaları (Karaşahin vd., 1997).....	2
Şekil 1.3. Tipik bir esnek üstyapı karot numunesi (Saltan, 1999).....	4
Şekil 3.2. Marshall stabilite sıkıştırma aleti .....	25
Şekil 3.3. Marshall stabilite deney aleti .....	28
Şekil 3.4. Tekrarlı çekme indirekt yükleme deney aleti .....	30
Şekil 4.1. Deneyde kullanılan mermere toz atıklarının hidrometre deneyi sonucu .....	31
Şekil 4.2. Karışımın stabilite-bitüm ilişkisi.....	34
Şekil 4.3. Karışımın birim ağırlık-bitüm ilişkisi.....	35
Şekil 4.4. Taş tozu fillerli karışımın bağlayıcı ile dolu agreba boşluğu-bitüm ilişkisi .....	35
Şekil 4.5. Taş tozu fillerli karışımın boşluk-bitüm ilişkisi.....	36
Şekil 4.6. Mermere tozu fillerli karışımın akma-bitüm ilişkisi .....	36
Şekil 4.7. Karışımın birim ağırlık-filler/bitüm ilişkisi .....	39
Şekil 4.8. Karışımın bağlayıcı ile dolu agreba boşluğu-filler/bitüm oranı ilişkisi .....	39
Şekil 4.9. Karışımın boşluk yüzdesi -filler/bitüm oranı ilişkisi .....	40
Şekil 4.10. Filler/bitüm oranına göre hazırlanan karışımın plastik deformasyon değerleri.....	40
Şekil 4.11. Karışımın birim ağırlık-filler oranı ilişkisi .....	41
Şekil 4.12. Karışımın bağlayıcı ile dolu agreba boşluğu-filler oranı ilişkisi .....	42
Şekil 4.13. Karışımın boşluk-filler oranı ilişkisi .....	42
Şekil 4.14. Karışımın plastik deformasyon değerleri .....	43
Şekil 4.15. Farklı filler malzemelerinin birim ağırlık değerleri .....	44
Şekil 4.16. Farklı filler malzemelerinin bağlayıcı ile dolu agreba boşluğu değerleri .....	45
Şekil 4.17. Farklı filler malzemelerinin boşluk miktarı değerleri .....	45
Şekil 4.18. Farklı filler malzemelerinin birim plastik deformasyon değerleri .....	46
Şekil 4.19. Mermere atıkları ile farklı mermere cinslerine ait atıkların alt ve üst sınır değerlerinin birim plastik deformasyon değerleri .....	47
Şekil 4.20. Burdur bej mermere ait birim plastik deformasyon değerleri .....	48
Şekil 4.21. Taştozu ve mermere atıklarına ait birim plastik deformasyon değerleri .....	48

## ÇİZELGELER DİZİNİ

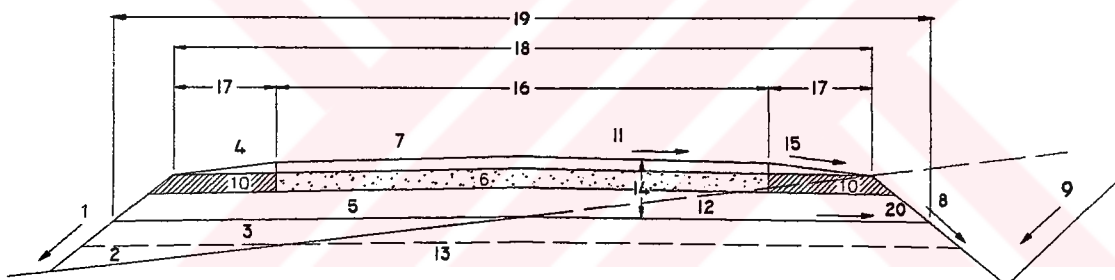
	<b>Sayfa</b>
Çizelge 1.1. Mineral fillerin gradasyon limitleri .....	5
Çizelge 3.1. Çalışmada kullanılan agrega malzemesinin özelliklerı (TİĞDEMİR, 1999) .....	16
Çizelge 3.2. Agrega granülometrisine ait şartname sınırları.....	24
Çizelge 4.1. İri agrega için yapılan deneyler ve sonuçları .....	31
Çizelge 4.2. İnce agrega için yapılan deneyler ve sonuçları .....	31
Çizelge 4.3. Mermer toz atıklarının yıkama yoluyla tespit edilen gradasyonu.....	32
Çizelge 4.4. Çalışmada kullanılan agrega malzemesi için yapılan deneyler ve sonuçları.....	32
Çizelge 4.5. Deneye kullanılan agreganın mevcut granülometrisi ve seçilen Binder C granülometrisi.....	33
Çizelge 4.6. Filler/bitüm oranına göre agrega gradasyonu .....	33
Çizelge 4.7. Filler oranına göre agrega gradasyonu .....	34



## 1. GİRİŞ

Canlıların veya eşyaların herhangi bir yerden başka bir yere taşınması için çeşitli ulaşım sistemlerinden birinin tercih edilmesi gereklidir. Ulaşım sistemleri; karayolu, denizyolu, havayolu ve demiryolu olarak sınıflandırılabilir. Ülkemizde ve dünyada en çok tercih edilen karayolu taşımacılığıdır.

Yolun trafik yüklerini taşıyan ve gerilmeleri dağıtmak üzere, yolun taban yüzeyi üzerine yerleştiren tabakalı sisteme üstyapı adı verilir. Yol üstyapısını esnek ve rijit üstyapılar olarak iki ana gruba ayırmak mümkündür. Ülkemizde Karayolları Genel Müdürlüğü (KGM), Köy Hizmetleri Genel Müdürlüğü ve Belediyeler tarafından esnek üstyapılar kullanılmaktadır. Esnek üstyapılar, aşınma tabakası, binder tabakası, temel tabakası ve alttemel tabakalarından oluşmaktadır. Tipik bir esnek üstyapı enkesiti Şekil 1.1' de gösterilmiştir.



- |   |                                       |
|---|---------------------------------------|
| 1—Dolgu Şevi                                      | 11—Yolun Enine Eğimi                  |
| 2—Doğal Zemin                                     | 12—Taban Yüzeyi (Tesviye Yüzeyi)      |
| 3—Seçme Malzeme Tabakası (Gerekli Olduğu Durumda) | 13—Yol Gövdesi (Taban Zemini)         |
| 4—Banket Kaplama                                  | 14—Üst Yapı Proje Kalınlığı           |
| 5—Alt Temel                                       | 15—Banket Eğimi                       |
| 6—Temel Tabakası                                  | 16—Trafik Şeritleri Genişliği         |
| 7—Kaplama Tabakası                                | 17—Banket Genişliği                   |
| 8—Hendek Şevi                                     | 18—Yol Genişliği (Platform Genişliği) |
| 9—Yarma Şevi                                      | 19—Üst Yapı Taban Genişliği           |
| 10—Banket Temeli                                  | 20—Taban Yüzeyinin Enine Eğimi        |

Şekil 1.1. Esnek üstyapı enkesiti (Ağar vd., 1998)

Türkiye'de KGM sorumluluğunda otoyol, devlet yolları ve il yolları olmak üzere 5659 km uzunluğunda asfalt betonu kaplamalı yol bulunmaktadır. 2006 yılı sonunda 12738 km uzunluğa ulaşılması hedeflenmektedir (Bayındırılık ve İskan Bakanlığı, 1999).

### 1.1. Esnek Üstyapı Tabakaları

Aşınma ve binder tabakaları bitümlü karışımlarından oluşmaktadır. Ancak, yoldaki ağır taşit trafiğine ve trafik hacmine bağlı olarak temel tabakası da bitümlü karışımından oluşabilir. Ülkemizde granüler malzeme kaynağı oldukça fazla olduğu için, temel ve alttemel tabakalarında granüler malzeme yaygın olarak kullanılmaktadır. Tipik bir esnek üstyapı enkesiti Şekil 1.2' de gösterilmiştir. Dingil yüküne yakın olan üst tabakalar daha büyük gerilmelere maruz kaldığı için daha kaliteli malzemelerin kullanılması gereklidir. Bu nedenle, üst tabakalar elastiklik modülü yüksek bitümlü karışımından oluşturulmuştur. Bitümlü karışım, agrega, bitüm ve hava boşluğundan oluşur. Karışımda agrega oranı % 92, bitüm oranı ise % 7-8 civarındadır.



Şekil 1.2. Tipik esnek üstyapı tabakaları (Karaşahin vd., 1997)

Taban zemini üzerine oturan alttemel, temel ve bitümlü kaplama tabakalarından oluşan esnek yol üstyapısının başarısı, tabakaların ve taban zeminin şartnamelere uygun şekilde projelendirilip, inşa edilmesine bağlıdır (Umar ve Ağar, 1991).

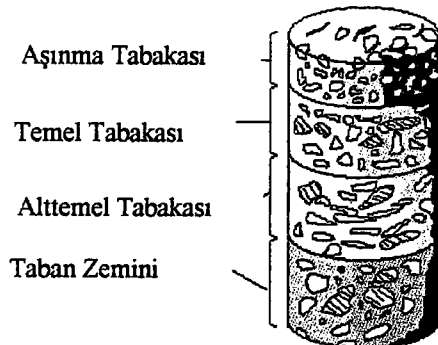
Kaplama tabakası, üstyapının trafik yüklerine doğrudan maruz kalan en üst tabakasıdır. Trafik yükleri nedeniyle oluşan basınç ve çekme gerilmelerinin en yüksek seviyede olması nedeniyle kaplama tabakası, üstyapının diğer tabakalarına göre daha yüksek elastisite modülüne sahip olmalıdır. Kaplama tabakasının kalınlığı

arttıkça yolun trafik yüklerine karşı direnci de artar. Temel tabakasına iletilen basınç ve kayma gerilmeleri azalır. Yollarda temel tabakası üzerine konan bitümlü kaplama tabakaları, genellikle yapım ve çalışma ilkeleri birbirlerinden oldukça farklı iki tipe ayrırlırlar: Yüzeysel (sathi) kaplamalar ve bitümlü karışımlarla oluşturulan kaplamalar (Umar ve Ağar, 1991).

Aşınma tabakasının altında üstyapının oturduğu doğal zemini, yani taban zeminini koruyan temel tabakası bulunur. Temel tabakası bir veya birden fazla tabakadan oluşabilir. Temel tabakasının esas görevi taşıtların geçişlerinden dolayı gerilmeleri taban zemininin taşıma gücü sınırları içerisinde yaymaktadır. Temel tabakası duruma göre çimentolu veya bitüm bağlayıcılı karışım, stabilize edilmiş zemin veya dikkatle seçilmiş granüler malzeme olabilir. Trafik hacminin yüksek olduğu kesimlerde bitümlü karışımlar daha yaygın olarak kullanılmaktadır.

Temel tabakasının altında alttemel tabakası bulunur. Alttemelin esas görevi, bitümlü tabakaların inşası için çalışma platformu oluşturmaktır. Bu tabakada kullanılan malzemeler genel olarak temel tabakasına göre daha düşük kalitelidir ve粒粒 (granüler) malzemedir. Mümkün mertebe yerel malzemeler ve yol inşaatında kullanılmaya elverişli artık malzemeler (molozlar, cürüflar, inşaat artıkları gibi) kullanılmaya çalışılır.

Taban zemini, sıkıştırılmış doğal zemin ya da dolgu malzemesinden oluşur. Bu tabaka üstyapıya temel görevi yapar. Yapısal olarak en önemli tabakadır. Üstyapı yükü son olarak bu tabakaya iletilir. Bu tabakanın görevini iyi yapabilmesi için iyi bir drenaja ihtiyacı vardır (Karaşahin, 1993). Tipik bir esnek üstyapı karot numunesi Şekil 1.3' de görülmektedir.



Şekil 1.3. Tipik bir esnek üstyapı karot numunesi (Saltan, 1999)

## 1.2. Bitümlü Karışımının Tasarımı

Bitümlü karışımlar agrega ile bitümlü bağlayıcı malzemeden oluşur. Bu karışımlar serbest agrega malzemesine göre çok pahalı olduklarından yol yapımında çoğunlukla, yalnızca kaplama tabakalarının yapımında kullanılır. Bitümlü karışımlar pahalı olmakla beraber birçok yararlı özelliği sahiptir:

- Yol düzgün yüzeyli olmalıdır. Taşıtların tekerlek sürtünmesi nedeniyle yaptığı gürültü önemli ölçüde azalır, konfor artar. Tekerlekler daha az aşınır.
- Bağlayıcı malzeme agrega danelerini çok iyi şekilde birbirine bağladığı için taşların taş fırlatması tehlikesi ortadan kalkar.
- Oldukça geçirimsiz bir yol yüzeyi elde edilir (Umar ve Ağar, 1991).

Agrega-asfalt karışımlarının yol kaplaması olarak kullanılabilmesi için bazı koşulları sağlaması gereklidir. Bu koşullar, kaplamalarla ilgili Teknik Şartnamelerde verilmiştir. Karışımının dizayn edilmesi sırasında aşağıdaki özellikler dikkate alınır.

1. Stabilite,
2. Durabilite (dayanıklılık),
3. Esneklik,
4. Yorulmaya karşı direnç,
5. Kaymaya karşı direnç,
6. Geçirimsizlik,
7. İşlenebilirlik (Önal ve Kahramangil, 1993).

Bir yol üstyapı tasarımindan gerekli olan, gerçek yola serilmiş malzemelerin özelliklerinin iyi bilinmesidir. Ancak, 1/1 ölçekli deney yapmak hem zaman alıcı hem de pratik değildir. Buna ilave olarak oldukça pahalıdır. Bu nedenle, çoğunlukla laboratuvar testleri yapılır. Bu testlerden amaç, arazi koşullarını mümkün mertebe temsil edebilmektir. Bitümlü malzemeler, visko-elasto-plastik (özellikleri sıcaklığı, yükleme süresine ve büyüklüğüne bağlı olarak değişen malzeme) bir davranışa sahip olduğu için sıcaklık, yükleme, gerilme koşulları ve numunenin sıkıştırılması önem kazanır (Karaşahin, 1994).

### **1.3. Esnek Yol Üst Yapılarında Filler Malzemesinin Kullanımı ve Önemi**

Esnek üstyapılarda kullanılan malzemeler, agregalar ve bitüm olarak iki grupta toplanabilir. Kaba ve ince agrega karışım gradasyonu 0.600 mm (No. 30) elekten geçen malzeme miktarı yetersiz ise, agrega karışımına mineral filler ilave edilebilir.

Mineral filler, genel anlamıyla tamamı 0.600 mm (No. 30) elekten geçip, ağırlıkça en az % 70' i 0.075 mm (No. 200) elekten geçen malzeme olarak tanımlanır. Çizelge 1.1.'de mineral fillerin gradasyon limitleri verilmektedir (ASTM D 242, 1992).<sup>1</sup>

Çizelge 1.1. Mineral fillerin gradasyon limitleri

<b>Elek Boyutu</b>	<b>% Geçen (Yıkama Yoluyla)</b>
0.600 mm (No. 30)	100
0.300 mm (No. 50)	95-100
0.075 mm (No. 200)	70-100

Asfalt betonu karışımında mineral fillerlerin yorulma ve plastik deformasyona etkileri üzerinde, hem literatürde çok az sayıda kaynak vardır hem de asfalt konusunda çalışan bir çok kişi tarafından iyi anlaşılmamıştır (Anderson vd., 1992). Bunun nedeni olarak filer konusunda yeterli araştırma yapılmadığı söylenebilir.

Mineral filler, hidrate kireç, kaya tozu, cürüf tozu, çimento, uçucu kül, lös ve diğer uygun ince mineral maddelerden meydana gelebilir (ASTM D 242, 1992).

Filler, bitümlü karışımlarda ince agregat oranını artırmak, boşluk miktarını azaltmak ve yüksek sıcaklıklarda asfalt betonunun deformasyona karşı dayanımını artırmak için kullanılır. Filler genellikle bitümlü karışım içinde % 3 ile % 9 oranları arasında kullanılır. Belli bir orana kadar filler, boşlukları doldurduğu için, ince agregat gradasyonunu değiştirir ve böylece agregat tanecikleri arasında daha fazla temas noktası sağlayarak daha yoğun karışımların elde edilmesinde rol oynar. Bunun yanısıra, bitüm ile birlikte ince agregaya karşı kayganlaştırma ve bağlayıcı etkisi göstererek harç elde etmeyi sağlar.

Mineral filler, toplam agreganın çok küçük yüzdesini oluşturmamasına karşın, karışımın özelliklerinin düzenlenmesinde önemli rol oynar. Mineral filler, 0.074 mm' lik elekten geçen agregat malzemesidir. Ancak 0.074 mm' den daha ince olan bütün malzemeler filler görevini görmezler. Mineral filler düzgün bir granülometrik bileşime sahip olmalı ve aynı zamanda 0.001 mm' den ince boyutlu daneler de içermeliidir. Filler kimyasal bakımdan atıl olmalı, yani bitümlü malzeme ile reaksiyona girmemelidir. Ayrıca, bitümlü karışımın yapıldığı sıcaklıkta bir değişikliğe uğramamalı, bağlayıcıya karşı iyi bir yüzey adezyonu göstermelidir (Umar ve Ağar, 1991).

Mineral fillerlerin asfalt yol karışımlar üzerine etkisi aşağıdaki gibi özetlenebilir:

1. Farklı mineral fillerler, asfalt çimentosuna eklendiğinde farklı rijitlik etkileri gösterir.
2. Zaman-sıcaklık değişim fonksiyonu, filler-asfalt oranı 1' den az olan asfalt veya mineral filler tarafından etkilenmez.
3. Karışımlara eklenen mineral filler, Marshall stabilite ve hava boşluğunu etkilemez.
4. Esneklik modülü değeri (kısa-süreli elastik tepki) mineral fillerin katılma etkisini yansıtmez (Dukatz ve Anderson, 1970).

#### **1.4. Çalışmanın Amacı ve İzlenen Yol**

Atık olarak elde edilen çeşitli ürünlerin depolanması veya doğaya terkedilmesi çok büyük güçlükler yaratmaktadır, çevre kirliliği dahil topluma çok büyük sorunlar getirmektedir. Günümüzde, çeşitli ürünlerin üretimi sırasında elde edilen yan ürün veya atıkların değerlendirilmesi üzerinde yoğun olarak çalışılmaktadır. Atıkların, yeni ürünlerin elde edilmesinde veya mevcut ürünlerde katkı maddesi olarak kullanılması düşünülmektedir. Atık malzeme ve yan ürünlerinin değerlendirilmesi, hem çok kısıtlı olan doğal malzemelerin kullanımını azaltarak doğanın tahrip edilmesini önlemekte, hem de malzemelerin atılmak üzere depolanması durumunda çevrede meydana gelecek problemleri en aza indirmektedir.

Mermerlerin düzgün geometrik şekil alabilmesi için kesilmesi gerekmektedir. Kesme işlemi sonunda mermer tozu ortaya çıkmaktadır. Mermer tozu sulu kesim yapıldığından, başlangıçta ıslak olarak depo edilmekte veya doğrudan araziye verilmektedir. Dolayısıyla çevre kirlenmesi söz konusudur.

İnşaatlarda mermer kullanımı her geçen gün artmaktadır. Mermere artan talebi karşılamak amacıyla, ülkemizdeki mermer işleme tesislerinin sayısında bir artış gözlenmektedir. Bunun doğal bir sonucu olarak da, mermer işleme tesislerinin yoğunlaştığı bölgelerde, kamuoyu gözünde çevre ve tabii güzelliği bozması sebebiyle olumsuz bir tepki oluşturan mermer atık sahalarının yoğunlaştığı görülmektedir (Şentürk vd., 1996).

Asfalt betonunda genellikle taş tozu filler malzemesi olarak kullanılmaktadır. Ancak özellikle çevre korumanın öneminin anlaşılması ile bazı taş ocakları kapatılmak zorunda kalmıştır. Bu nedenle belediyeler ve Karayolları filler malzemesi bulmakta zorluk çekmektedir. Bu bağlamda atıkların değerlendirilmesinde fayda görülmektedir.

Bu çalışmada, mermer toz atıkların asfalt betonunda filler malzemesi olarak kullanılabilirliği araştırılmıştır. Atıkların asfalt betonunda kullanımı ile plastik deformasyona olan etkileri incelenmiştir. Çalışmada mermer malzemeleri öğütülerek

200 nolu elek altında kalan malzeme ve atık doğrudan bitümlü karışım içerisinde kullanılmıştır.

Birinci bölümde, yol üstyapısı, yol üstyapısını oluşturan tabakalar, mineral fillerin tanımı, kullanımı ve önemi konusunda tanımlamalar ve araştırmalar, atıkların çevresel etkileri, mermer toz atıkların oluşumu, çalışmanın amacı ve önemi hakkında bilgi verilmiştir.

İkinci bölümde ise daha önce konu ile ilgili yapılmış olan çalışmalara yer verilmiştir. Bu çalışmalar genel olarak asfalt betonunda filler etkisi ve çeşitli malzemelerin filler malzemesi olarak kullanılması durumunda asfalt betonunun özelliklerinde görülen değişiklikleri anlatmaktadır.

Üçüncü bölümde çalışmada kullanılan malzemelerin özellikleri, seçilen agrega gradasyonu, uygulanan deneylerin özellikleri, numune hazırlanması ve çalışmada kullanılan bağıntılardan bahsedilmiştir.

Dördüncü bölümde ise uygulanan Marshall ve Plastik Deformasyon deneylerine ait sonuçlar ile Marshall numunelerinin boşluk %'si, birim hacim ağırlık ve bağlayıcı ile dolu agrega boşluğu %' si grafikleri verilmiştir.

Beşinci bölümde elde edilen sonuçların değerlendirimesi ve öneriler sunulmuştur.

## 2. KAYNAK BİLGİSİ

Fillerin önemini tanımlayan ve farkına ilk varan 1893' lerde Clifford Richardson' dur. Birbiriyle değiştirilebilen filler ve toz terimlerini kullanılmış ve "gerçek toz" un önemini vurgulamıştır. Kum olarak adlandırılan ve büyülüklüğü 0.05 mm. den küçük parçacıklar, sadece No 200 eleğinden (o zaman 0.085 mm. günümüzle karşılaşıldığında 0.074 mm. ) parçacıklar geçtiğinde çok değerli parçacıklar veya gerçek toz olduğuna inanılırdı. Richardson tarafından filler olarak önerilen performansı yeterli malzemeler: Portland çimentosu, kireçtaşı, killi şist ve kildir. Tatmin edici olmayan veya değeri sorgulanabilen malzemeler ise: Şeker pancarı fabrikaları kireci, marn (yüksek kalsiyumlu kil), silika, kostik veya sönmüş kireç ve doğal hidrolik çimentodur (Tunnicliff, 1962).

Dukatz ve Anderson (1970), iki farklı kaynaktan elde edilen asfaltın mekanik özelliklerinde sekiz farklı mineral fillerin etkilerini incelemiştir. Asfalt-mineral filler karışımı, iki farklı filler-asfalt oranında hazırlanmıştır. Bu karışım üzerinde dört sıcaklıkta plaka viskozimetresi deneyleri yapılmıştır. Farklı mineral fillerler malzemeleri, asfalt çimentosuna karıştırlığında farklı rijitlik etkileri gösterdiğini, karışımlara eklenen mineral fillerin Marshall stabilité ve hava boşluğunu etkilemediğini bulmuşlardır.

Ishai vd (1980), optimum mekanik davranış ve optimum bitüm içeriği gibi bitümlü karışımının optimal davranışlarını belirlemede mastik ve fillerin temel özelliklerini incelemiştir. Sonuçta, karışımın davranışında diğer etkiler ile ilgili olarak fillerin sınıflandırılması için temel nicel kriter önerilmiştir. Altı çeşit filler araştırmada kullanılmıştır. Bunlar cam parçacıkları, dolomit, kumtaşısı, bazalt, kireçtaşı ve hidrate kireçtir.

Puzinauskas (1983), filler-asfalt karışımının özellikleri, yol karışımının davranışını ve özellikleri üzerine mineral fillerlerin etkilerini araştırmuştur. Bu amaçla dört farklı mineral filler (kireçtaşı tozu, kaolin kili, fuller toprağı ve kısa-lif asbest) kullanmıştır. Bitüm malzemesini sabit tutmuş, üç ayrı agrega (kum, volkanik kaya ve kireçtaşı),

Bitüm malzemesini sabit tutmuş, üç ayrı agrega (kum, volkanik kaya ve kireçtaşısı), kullanmıştır. Dört farklı mineral fillerin etkilerinin değerinin ölçülmesi için yaygın olarak kullanılan Marshall karışım tasarımı, asfalt yol karışımının fiziksel özelliklerinin belirlenmesinde kullanılmıştır. Bu testler için her bir numunenin hazırlanmasında Marshall tokmağı ile 50 düşüş kullanılarak numuneler sıkıştırılmıştır. Araştırmacı bu çalışmasında, aşağıdaki sonuçlara ulaşmıştır.

- 1.Çoğu kez, yolun yoğunluk ve dayanıklılık gibi özelliklerini iyileştirmek için mineral fillerlere ihtiyaç duyulur.
2. Mineral fillerler asfalt karışımlarında iki rol oynar. Birincisi, mineral agregaların bir parçasıdır. İkincisi ise, büyük agrega parçaları arasında temas sağlar ve boşlukları doldurur.
3. Bitüm içerisinde normalden daha az mineral filler karıştırıldığı zaman, asfaltın duktilite, penetrasyon ve viskozite özellikleri önemli düzeyde değişiklik gösterir.
4. Gerçek asfalt karışımlarda genellikle kullanılan filler miktarı, çevre sıcaklıklarında filler asfalt karışımlarının duktilitesi sıfır değerine yaklaşır.
5. Viskozite ölçümleri, yol kaplama malzemesi inşası ve kullanımında fillerlerin güvenilebilirliğinin belirlenmesini sağlar. Filler tipi ve miktarına bağlı olarak, yüksek sıcaklıklarda filler asfalt karışımının viskozite değerleri, çok geniş bir alanda değişebilir.
6. Deneyler, yoğun bir asfalt karışımı elde etmek için ihtiyaç duyulan sıkıştırma enerjisi ve binder viskozitesi arasında önemli ve iyi bir korelasyonun varlığını göstermiştir. Bu testler, yüksek viskoziteli filler asfalt karışımı içeren binder tabakasının sıkıştırılabilmesi için aynı zamanda yüksek sıcaklığa ihtiyaç duyduğunu göstermiştir.

Akili ve Courval (1987), üç farklı mineral filler (çimento, hidrate kireç ve ezilmiş kireçtaşısı tozu) kullanmışlardır. Yükleme süresi, sıcaklık ve kükürt/asfaltın (K/A) ağırlık oranı değişkenler olarak seçilmiştir. K/A binderleri ile hidrate kireç fillerinin, kireçtaşısı tozu veya çimento ile hazırlanan binderlerden daha yüksek dayanım ve viskozite özelliği gösterdiğini bulmuşlardır.

Anderson vd. (1992), çalışmalarında No 200 eleği altı (75 mikron) mineral fillerlerin bir kısmını sıcak karışım asfalt betonu ve fillerli mastik asfaltta kullanmışlardır. Yedi farklı kaynaktan toz numunesi almışlardır. Mineral filler karışımı içeren farklı oranlarda filler-asfalt karışımı hazırlamışlardır. Genellikle asfalt karışımlarının davranışının yorulma deneyi ile değerlendirildiğini belirtmişlerdir. Bu deneyin eğilme yorulması nedeniyle kırılma meydana gelmesine neden olduğundan başarısız olduğunu ispatlamışlardır.

Suhaibani vd. (1992), asfalt betonunda oluşan tekerlek izi derinliğinde filler tipi ve içeriğinin etkisini araştırmışlardır. Tekerlek İzi Deneyi (Whell Tracking Test LCPC) tekerlek izi derinliğinde bu karışımların etkilerinin araştırılmasında kullanılmıştır. Karışımın mekanik özelliklerinin incelenmesinde, esneklik modülü, indirekt çekme dayanımı, Hveem stabilite ve Marshall stabilite deneyleri kullanılmıştır. Bu çalışmanın sonuçları, tekerlek izi derinliği üzerinde, deneyde kullanılan karışımın portant çimentosu, hidrate kireç ve kireçtaşısı tozunun etkisi olduğunu göstermiştir.

Shahrour ve Saloukeh (1992), karışımlarda seçilen farklı fillerlerin etkisini değerlendirmiştir. Filler olarak kullanılan çimento, hidrate kireç ve sodyum silikat karışımlara eklenmiş ve çalışmada dikkate alınmıştır. Fillerlerin gradasyon, parçacık şekli, yüzey özellikleri, sıkıştırılmış numunede boşluk oranı, su emme ve özgül ağırlıkları tayin edilmiştir. Değişik filler malzemeleri, bitüme ağırlıkla 0,5 ve 1,5 oranlarında ilave edilmiştir. Filler oranı arttığında yumuşama noktasının ve penetrasyon indeksinin arttığını, penetrasyon değerinin düşüğünü göstermiştir. Marshall karışım dizaynı çalışması, bitümlü karışımlarda filler miktarı ve farklı tiplerinin performansını değerlendirmede kullanılmıştır. Değişik filler malzemelerinden farklı sonuçlar elde etmişlerdir.

Tyson (1993), kömür tozunun kullanım alanları hakkında bilgi vermiş ve kömür tozunun bitümlü karışımlarda mineral filler olarak kullanılabilceğini göstermiştir. Sayed vd. (1995), Bahreyn' de kullanılan bitümlü yol karışımlarında mineral filler olarak pissu atığı külünün kullanılmasını araştırmışlardır. Atıkların kimyasal ve fiziksel özellikleri araştırılmış, atık içeren asfalt betonu karışımlar hazırlanmıştır.

Marshall deney metodu asfalt betonunda filler olarak atığın uygunluğu değerlendirmede kullanılmıştır. Değerlendirme parametreleri, sıkışmış karışım yoğunluğu, karışımında hava katkılarının yüzdesi, mineral agregalarda boşluk yüzdesi, bitüm ile dolu boşluk yüzdesi, Marshall Stabilitesi ve akmadır. Optimum bitüm oranı ile hazırlanan numuneler, Bahreyn' de hakim olan yüksek sıcaklıklarda karışımın çevre sıcaklığından etkilenme durumunun belirlenmesinde kullanılmış, 70 C° ve 80 C° de akma ve stabilite değeri belirlenmiştir. Atık madde içeren numunelerin Bahreyn standart şartnamesinin minimum stabilite değerini sağladığı görülmüştür.

Önal vd. (1996), çalışmalarında karışımda kil malzemesini filler malzemesi olarak kullanmış ve bitümlü karışımın kohezyonuna etkisini incelemiştir. Sonuçta, TS-1900' e uygun olarak No.40 (0.42 mm) eleği geçen kısmına uygulanan Likit Limit ve Plastik Limit deneyleri ile bulunamayan düşük plastisitelerin, malzemenin No.200 (0.074 mm) eleği geçen kısmına uygulanması ile belirlenebileceği, karışımında kil bulunması durumunda suyla yeterli bir süre temas etmeyen (koşullandırılmamış) numunelerle kilin olumsuz etkisinin gözlenmediği, suyla daha uzun bir süre (çalışmada 60 °C' de, 72 saat) temas eden karışımlarda ise yüksek plastisitelerde Marshall stabilitesi ve indirekt çekme mukavemetinde azalmalar olduğu görülmüştür. Mogawer ve Stuart (1996), çalışmalarında üç Avrupa ülkesinden elde edilen ve performansı bilinen sekiz farklı mineral filler kullanılmışlardır. Karışımlar için, mastiklerin akması akma deneyi kullanılarak, tekerlek izi deneyleri Fransız yol tekerlek izi deneyi kullanılarak, düşük sıcaklık çatlağı indirekt çekme deneyi kullanılarak, uygulanabilirlik ASTM D 4867 metodu kullanılarak denenmiştir. Deneyler sonucunda kaliteli ve kalitesiz mineral fillerlerin stone asfalt karışımlarının performansını etkilemediği ortaya çıkmıştır.

Okuyucu (1996), tarafından yapılan çalışmada hidrolik yapılarda kullanılan asfalt betonunun geçirgenliği incelenmiştir. İlk olarak, bütün dünyada kullanılan hidrolik asfalt betonları için tasarım prensipleri, şartnameler ve gereksinimler araştırılmıştır. Bununla birlikte, asfalt karışımlarının geçirgenliğini etkileyen faktörler de incelenmiştir. Bu faktörler agrega gradasyonu, bitüm oranı ve sıkıştırma miktarıdır.

Bulunan şartnameler ve prensipler kullanılarak çeşitli laboratuar numuneleri hazırlanmıştır. Birçok geçirgenlik testi yapılmış, filler/bitüm oranı, bitüm yüzdesi, filler yüzdesi ve sıkıştırma oranının etkileri bulunmuş ve sonuçlar grafikler üzerinde gösterilmiştir.

Harris ve Stuart (1996), çalışmalarında mineral filler karakteri için yöntem geliştirmiştirlerdir. Asfalt karışımlarında mineral fillerin performans alanı ve mineral filler özelliklerinin laboratuar ölçümleri üzerinde araştırmalar ve ilişkiler anlatılmıştır.

Güngör (1996), Afşin Elbistan uçucu külünün esnek yol üst kaplamalarında filler malzemesi olarak kullanılmasını araştırmıştır. Taş tozu, portlant çimentosu ve uçucu kül fillerli karışımlara Marshall deneyi yapılmış, optimum bitüm yüzdesi, bağlayıcı ile dolu boşluk yüzdesi, boşluk yüzdesi, akma ve stabilite değerleri elde edilmiş, sonuçlar karşılaştırılmıştır. Yapılan çalışma sonucunda uçucu külün esnek üst yapılarda filler malzemesi olarak kullanılabileceği kanısına varılmıştır.

Karaşahin vd. (1997), Isparta Belediyesi' nin asfalt betonu üretiminde kullandığı kaba agregalar, ince agregalar ve filler malzemeleri kullanarak Marshall numuneleri hazırlamış, Marshall stabilite deney aletinde kırmışlardır. Benzer olarak ISBAS şirketinden pomza numunesi alınmış ve Isparta Belediyesi' nin kullandığı normal filler yerine pomzadan elde edilen filler kullanılmıştır. Deney sonuçlarına göre, pomza filler olarak kullanıldığında bağlayıcı olarak daha fazla bitüm kullanılması gerektiği halde, normal fillere göre daha büyük stabilite değeri elde edilmiştir.

Chen vd. (1998), mastik asfalt karışımlar üzerinde deneyler yapmışlardır. Direkt çekme testi deney sonuçlarına göre, karışımın filler içeriği arttığında, çekme dayanımının da arttığını göstermiştir. Buna bağlı olarak, asfalt ile mineral filler arasında iyi bir adezyon olduğunu ifade etmişlerdir. Ayrıca, asfalt-mineral filler mastik karışımlarının çekme dayanımı, filler parçacıklarının boyutunun artması ile azaldığını göstermişlerdir.

Acar ve Tapkın (1998), tarafından yapılan çalışmada, esnek kaplamalarda aşınma tabakası olarak kullanılan standart karışım özelliklerini taşıyan laboratuar Marshall numuneleri ile, karışımındaki filler yerine çeşitli oranlarda Portland Çimentosu kullanılarak hazırlanmış numuneler test edilerek, stabilite ve akma özellikleri açısından değerlendirilmiştir. Aynı gradasyon ve optimum bitüm muhtevasındaki sınırlı sayıda numuneler üzerinde yapılan Marshall ve indirekt yorulma testlerinden, agregat içerisinde doğal filler bulunan numunelerin doğal filler yerine Portland Çimentosu kullanılarak hazırlanan numunelerden önemsenerek düzeyde farklı davranışları sergiledikleri gözlenmiştir. Numune içerisindeki çimento miktarı arttıkça Marshall stabilitesinde artış gözlenmiş, bu artış % 5-7 Portland Çimentosu için % 12 mertebesine ulaşmıştır. Yorulma açısından da, Portland Çimentolu numunelerin normal numunelere göre, laboratuarda yorulma ömrü belirlemede kullanılan kriterle bağlı olarak, % 15 ile % 22 arasında fazla ömür gösterdikleri kaydedilmiştir.

Kandhal vd. (1998), özellikle 0.075 mm (No. 200 elege) boyutundan geçen malzemelerin (genellikle filler malzemeleri olarak adlandırılan), kalıcı deformasyon, yorulma çatlığı ve nem etkilenmesi süresinde asfalt yol karışımlarının performansında önemli etkiye sahip olduğunu belirtmiştir. Bununla beraber, araştırmalarda filler malzemelerinin değerlendirilmesi için farklı deneyler kullanılmıştır. Bu çalışmada, asfalt yol karışımlarının performansı ile çok ilgili olan filler deneyleri belirlenmeye çalışılmıştır. Dane boyutu ve mineralojik yapısı farklı altı filler malzemesi kullanılmıştır. Karışımalar ağırlıkça 0.8 ve 1.5 asfalt oranlarında hazırlanmıştır. Kalıcı deformasyon için Superpave kesme deneyi ve yorulma deneyi, farklı filler malzemeleri ve asfalt oranında ince malzemeler ile 12 karışım içeriğinde nem etkilenmesi değerlendirmesi için AASHTO T283 ve Hamburg tekerlek izi deneyi kullanılmıştır.

Tayebali vd. (1998), agregat parçacık nitelik ve şekil sınıflandırması için üç metod (AASHTO TP33, ASTM D 3389, ve akma oranı metodu) kullanılmışlardır. Bu metodlar, her bir metod tarafından saptanan kriterlerin zayıftan iyiye performansının esası için kırılmış granit ve dört doğal nehir kumu dizisinde kullanılmıştır. Deney sonuçları, tüm metodların doğal nehir kumundan kırılmış agregaların kolayca

ayrıldığını göstermektedir. AASHTO TP33 ve akma oranı metodu parçacık nitelik ve sınıflandırmasında ASTM D 3398' den oldukça düşük duyarlılıkta küçük farklılıklar olduğu bulunmuştur. Tüm deney metodları, test edilen çeşitli düşük katsayılarla sahip tüm agregaların her birinin tekrar edilebilir olduğunu göstermiştir. Kalıcı deformasyonda karışım performansında mineral filler içeriği, parçacık şekli ve yapısının etkisini değerlendirmede ortalama çalışma olarak bir doğal kum dizisi % 20 doğal kumun oranında ezilmiş granit ve % 80 ezilmiş granit seçilmiş ve karıştırılmıştır. Yüzde 4, 6, 8, ve 12 mineral filler içeren asfalt-agrega karışımı numuneleri; Marshall stabilité deneyi ve sabit gerilmeli tekrarlı kesme deneyinde test edilmiştir. Sonuç olarak mineral filler içeriğindeki artışın, karışımın kesme esnek modülünü artırırken, karışımda tekerlek izi derinliğini azalttığı gözlenmiştir.

### 3. MATERİYAL VE METOT

#### 3.1. Materyal

Bu bölümde, deney numunelerinin hazırlanabilmesi için kullanılan mineral agregat, mineral filler, asfalt cimentosu ve deneyler sırasında kullanılan cihazlar ile ilgili bilgiler verilmiştir.

##### 3.1.1. Mineral Agregat

Çalışmada, Isparta civarındaki karayollarında kullanılan ve Gümüşgün taşocagından sağlanan 25 mm altında olan kırmaş kireçtaşının mineral agregat olarak kullanılmıştır. No. 40 elek üstü malzemeler, üzerindeki tozların uzaklaştırılması için yıkanarak kullanılmıştır. Daha ince malzemeler ise olduğu gibi karışımında kullanılmıştır.

Mineral agregat malzemesinin özelliklerinin belirlenmesi ile ilgili olarak yapılmış olan deneylerin Tıgdemir, 1999' dan alınarak düzenlenen sonuçları Çizelge 3.1' de verilmiştir.

Çizelge 3.1. Çalışmada kullanılan agregat malzemesinin özellikleri (Tıgdemir, 1999)

Deney Adı	Ölçülen Özellik	İlgili Standart/Kaynak	Ölçülen Değer
İri agregat için özgül ağırlık deneyi	Hacim özgül ağırlık	(ASTM C 127-88, 1992)	26,91 kN/m <sup>3</sup>
	Suya doygun özgül ağırlık		26,96 kN/m <sup>3</sup>
	Su emme yüzdesi		% 0,2
İnce agregat için özgül ağırlık deneyi	Hacim özgül ağırlık	(ASTM C 128-88, 1992)	25,80 kN/m <sup>3</sup>
	Suya doygun özgül ağırlık		26,24 kN/m <sup>3</sup>
	Su emme yüzdesi		% 2,3
Los Angeles Aşınma Deneyi	Aşınma yüzdesi	(ASTM C 131-89, 1992)	%17<%35
Donma ve Çözülme Deneyi	Malzeme Kaybı	(Umar ve Ağar, 1991)	%6.8<%12
Nicholson Metodu ile Soyulma Deneyi	Soyulma Yüzdesi	(Umar ve Ağar, 1991)	%24<%50

### **3.1.2. Mineral Filler**

Çalışmada mineral filler olarak taştozu (kireçtaşı tozu) , mermere tozu ve mermere toz atıkları kullanılmıştır.

#### **3.1.2.1. Taş tozu**

Deney numunelerinin hazırlanmasında, mineral agrega olarak da kullanılan Isparta Gümüşgün taş ocağına ait malzeme, 200 nolu elekten elenerek mineral filler olarak kullanılmıştır.

#### **3.1.2.2. Mermere Toz Atığı**

Çalışmada, Isparta yöresinde faaliyet gösteren iki mermere fabrikasından alınan mermere toz atıkları doğrudan ve 200 nolu elekten elenerek kullanılmıştır. Bunlardan bir tanesi, hangi cins mermere atığı olduğu bilinmeyen karışık mermere atığıdır. Diğer ise, Burdur Bej cinsi mermere ait fabrika atığıdır. Ayrıca bu mermere ait bir parça da fabrikadan alınarak bir sonraki bölümde açıklandığı şekilde laboratuarda toz haline getirilerek 200 nolu elekten elenmiş ve bu şekilde mineral filler olarak kullanılmıştır.

#### **3.1.2.3. Mermere Tozu**

Çalışmada, 7 ayrı cins mermere, mineral filler olarak kullanılmıştır. Bunlar;

1. Afyon Gri
2. Burdur Bej
3. Dolomit
4. Elazığ Vişne
5. Rozalya
6. Suprensadene
7. Traverten

Bu mermer parçaları Süleyman Demirel Üniversitesi Mühendislik-Mimarlık Fakültesi Maden Mühendisliği Cevher Hazırlama Laboratuarında öğretülmüş ve 200 nolu elekten elenerek mineral filler elde edilmiştir.

### **3.1.3. Asfalt Çimentosu**

Çalışmada, Isparta Belediyesi asfalt şantiyesinde kullanılan bitüm malzemesinden yararlanılmıştır. Bu malzeme 90-100 penetrasyonlu asfalt çimentosudur.

### **3.1.4. Cihazlar**

Deney numunelerinin hazırlanabilmesi ve ilgili deneylerin yapılabilmesi için Süleyman Demirel Üniversitesi Mühendislik-Mimarlık Fakültesi İnşaat Mühendisliği bölümüne ait Ulaştırma ve Zemin Mekanığı laboratuarlarında bulunan Marshall deney aleti, indirekt çekme deney aleti, Marshall sıkıştırıcı, Marshall numune kalıpları, su banyosu, etüp, penetrasyon deney aleti, penetrasyon numune kapları, duktilité deney aleti, hassas terazi, elek serisi, hidrometre deney aleti kullanılmıştır.

## **3.2. Metot**

Bu bölümde, deney numunelerini oluşturan malzemelerin özelliklerinin belirlenmesi ve deney numunelerinin test edilmesi için kullanılan deney metotları hakkında bilgiler verilmiştir.

### **3.2.1. Mineral Agregaların Fiziksel Özelliklerinin Belirlenmesi**

Deney numunelerinin hazırlanmasında kullanılan mineral agreganın fiziksel özelliklerinin tayininde iri ve ince agregalar için özgül ağırlık deneyleri yapılmıştır.

#### **3.2.1.1. İri Agrega İçin Özgül Ağırlık Deneyi**

Özgül ağırlık değeri, portland çimentosu betonu, asfalt betonu ve diğer karışımında kullanılan iri agreganın özelliklerini belirlemeye genellikle kullanılır (ASTM C 128-88, 1992).

Kullanılan agrega örneğinden yaklaşık 1 kg alınır, 24 saat suda bırakılır. Sonra yüzeyleri bezle kurutulur ve tartılır. Bir tel sepete konarak suya batırılır ve suda tartılır. Daha sonra malzeme etüvde 105 °C' de 24 saat kurutulur ve havada tartılır (Umar ve Ağar, 1991).

$$\text{Hacim özgül ağırlık (kN/cm}^3\text{)} = \frac{A}{B-C} \quad (3.1)$$

$$\text{Doygun esasa göre hacim özgül ağırlık (kN/cm}^3\text{)} = \frac{B}{B-C} \quad (3.2)$$

$$\text{Zahiri özgül ağırlık (kN/cm}^3\text{)} = \frac{A}{A-C} \quad (3.3)$$

$$\text{Su emme yüzdesi (\%)} = \frac{B-A}{A} \times 100 \quad (3.4)$$

A= Kuru ağırlık (gr)

B=Doygun yüzey kuru ağırlık (gr)

C=Sudaki ağırlık (gr)

### 3.2.1.2 İnce Agrega İçin Özgül Ağırlık Deneyi

İnce agrega 24 saat suda bırakılır. Ertesi gün kohezyonunu kaybedinceye kadar kurumaya terk edilir. Sonra, bu haldeki malzemeden 500 gr alınır ve piknometreye konur ve üzerine piknometre doluncaya kadar su ilave edilir. Piknometre içindeki malzeme alınır ve etüvde kurutulur, sonra da tartılır. İnce aggreganın özgül ağırlığı aşağıdaki gibi hesaplanır (Umar ve Ağar, 1991).

$$\text{Hacim özgül ağırlık (kN/cm}^3\text{)} = \frac{A}{V-W} \quad (3.5)$$

$$\text{Doygun esasa göre hacim özgül ağırlık (kN/cm}^3\text{)} = \frac{500}{V-W} \quad (3.6)$$

$$\text{Zahiri özgül ağırlık (kN/cm}^3\text{)} = \frac{A}{V-W-(500-A)} \quad (3.7)$$

$$\text{Su emme yüzdesi (\%)} = \frac{500-A}{A} \times 100 \quad (3.8)$$

A= Kuru ağırlık (gr)

V=Piknometre hacmi ( $\text{cm}^3$ )

W=Su ağırlığı (gr)

### **3.2.2. Mineral Fillerin Fiziksel Özelliklerinin Belirlenmesi**

#### **3.2.2.1. Hidrometre Deneyi**

Arazi dane büyüklüğü analizinde, çökme hızı, hazırlanan sıvının üst kısmının, daha büyük çaplı danelerin çökelmesi sebebiyle yoğunluğunun azalması ile tayin olunur. Yoğunluk, hidrometre ile ölçülür (Kumbasar vd., 1969).

Bu metodda esas, suspansiyonun özgül ağırlığının çökelme başladıkten sonra, değişik zamanlarda, bir hidrometre vasıtası ile ölçülmesidir. Burada, hidrometre gövdesinin hacim merkezinin, sıvının hakiki yüzü altındaki derinliği, özgül ağırlığın ölçüldüğü seviye olarak kabul edilir (Capper ve Cassie, 1973).

Deneyde, No. 200 eleğinden geçen 50 gr etüvde kurutulmuş numuneye ihtiyaç vardır. Ayrıştırıcı sıvıda numune birkaç gün bekletilir. Daha sonra karışım bir mezüre alınır ve  $1000 \text{ cm}^3$  işaretine kadar su ile tamamlanır. Ağzına lastik tapa geçirilmiş olan mezür şiddetle çalkalanır ve bu iş bittikten sonra düz bir yere oturtularak kronometre çalıştırılır. Hidrometre karışımı dikkatle daldırılır ve 15 sn. sonra ilk okuma alınır. Okumalar 30 sn, 1. ve 2. dakikada tekrarlanır ve hidrometre dışarı alınır. Hidrometre okumaları 4, 8, 15, 30 dakikalar ile 1, 2, 4, 8, ve 24 saatlerde tekrarlanmalıdır. Deney boyunca sıcaklık mümkün olduğu kadar hassasiyetle kontrol edilmeli, mezür, süspansiyonda konveksiyon hareketlerine meydan vermemek için güneş ışığından ve herhangi bir ısı kaynağından uzak tutulmalıdır. Buharlaşmayı önlemek için mezürün üstüne bir kapak kapatmak fayda sağlayabilir. Süspansiyonun sıcaklığı her okuma için kontrol edilmeli ve deney boyunca ortalama süspansiyon sıcaklığı  $2^\circ\text{C}$  den fazla bir fark göstermemelidir, bu dane büyüklüklerinde % 2'den fazla hatanın olmamasını sağlar. Bu şart, oda sıcaklığında  $8^\circ\text{C}$  den fazla bir fark olmadığı zaman yerine gelmiş olur (Kumbasar vd., 1969).

Hidrometre deneyi sonrası alınan okumalara göre dane büyüklüğü aşağıdaki gibi hesaplanır.

$$D = k \frac{\sqrt{R_h}}{t} \quad (3.9)$$

D = Dane boyutu (mm)

k = 0.0134

$R_h$  = Menisküsün üst seviyesinde hidrometre okuması. Okuma alınırken tamsayı okumaları ihmal edilir ve ondalık noktası üçüncü ve dördüncü ondalıklar arasına koyulur, yani yoğunluk 1.0325 okuması 32.5 olarak kaydedilmelidir.

t= Okuma süresi (dakika)

Alınan numuneye göre geçen dane yüzdesi aşağıdaki gibi hesaplanır.

$$P = \frac{R_h}{50} \quad (3.10)$$

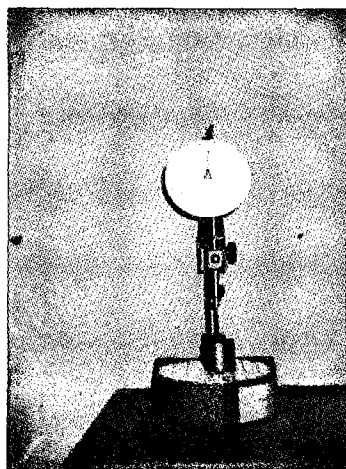
P= Alınan numuneye göre geçen tane yüzdesi (%)

### 3.2.3. Asfalt Çimentosunun Fiziksel Özelliklerinin Belirlenmesi

#### 3.2.3.1. Penetrasyon Deneyi

Yarı katı veya akıcı olmayan bağlayıcıların kıvamlarının viskozimetre ile ölçülmesi mümkün değildir. Bu durumda penetrasyon deneyi yapılır. Penetrasyon ölçmek için kullanılan alete penetrometre denir.

Deney yapılışı ise, penetrasyon cihazı düzgün bir yere yerleştirilir ve gösterge sıfıra getirilir. Numune istenen sıcaklıkta olmalıdır (genellikle 25 °C'de). İstenen ağırlıkta (genellikle 100 gr) numune yüzeyine ancak degecek şekilde ayarlanır. İğne belirli bir zaman aralığında serbest bırakılır. Genellikle 5 sn'lik zaman bitiminde penetrasyon değeri okunur. Kabın kenarından ve birbirinden 1'er cm' lik uzaklıkta en az 3 okuma yapılır. Bu okumalar en kısa zamanda yapılmalıdır. İğne, her seferinde uygun bir çözücü ile (Karbon tetra klorür, tri klor etilen, benzin) ısıtılmış bezle silinir. Sonra kuru bezle temizlenir (TS 118, 1998).



Şekil 3.1. Penetrasyon deney aleti

Viskozite ve penetrasyon derecesi benzer sayılarla verilir. Örneğin 80-100 penetrasyonlu asfalt, 50-100 viskoziteli asfalt gibi. Fakat bunlar farklı şeylerdir. Bunların benzer şekilde ifade edilmesi yanlışlara yol açar.

Penetrasyon derecesi yükseldikçe daha yumuşak bağlayıcı söz konusudur. Buna karşılık viskozitede durum terstir. Normal yol işlerinde kullanılan asfaltların penetrasyonu 30 ile 300 arasında değişir. Penetrasyonu aynı olan iki asfalttan yumuşama noktası yüksek olan sığağa daha dayanıklıdır (Umar ve Ağar, 1991).

### 3.2.3.2. Düktilite Deneyi

Bitümlü karışımalar genleşme ve büzülmeler doğuran ısı değişikliklerine maruz kaldılarından, bağlayıcıların belli bir düktilite özelliğine sahip olması gereklidir. Bir asfaltın düktilitesi, belirtilen koşullar altında standart bir briketin kopmadan uzayabileceği (cm) cinsinden uzaklık olarak belirtilir. Düktilite, yavaş etkiyen yükler altında bağlayıcının esneme kabiliyetinin bir ölçüsüdür (Umar ve Ağar, 1991).

Deneyde, eritilmiş numune “8” şeklindeki kalıp içine doldurulur ve oda sıcaklığında soğumaya bırakılır. Briketin min. kesit alanı  $1 \text{ cm}^2$  dir. Soğuyan kaliplar deney sıcaklığındaki su banyosuna bırakılır. Kalıba yapışan fazla kısımlar sıcak bir bıçakla alınır, kalıbin yan parçaları çıkarılır, deney briketi düktilometreye yerleştirilir. Burada 5 cm/dak' lik sabit bir hızla çekilir. Asfalt ipliğinin kopmasına kadar

katedilen yol, düktilitde ölçülür (cm). Deney 25 °C sabit sıcaklığtaki su banyosu içinde yapılır.

Normal bir deneyde kopma, çekilmekte olan maddenin muayyen bir noktada ayrılması veya iplik şeklinde uzamakta olan numunenin kesit alanının sıfıra inmesi anıdır. Böyle üç normal deney sonuçlarının ortalaması, numunenin düktilitesi olarak bildirilir. Deney esnasında bitümlü madde suyun üst yüzeyine veya banyonun tabanına değerse bu normal bir deney olarak kabul edilemez (TS 119, 1964).

### 3.2.3.2. Özgül Ağırlık Deneyi

Bir bağlayıcının özgül ağırlığı bunun belli bir hacminin ağırlığının aynı hacimde su ağırlığına oranıdır. Bir bağlayıcının özgül ağırlığı başlıca iki bakımdan önemlidir. Birincisi; çok defa ağırlıkla hacim arasındaki bağıntının bilinmesi faydalıdır. Bitümlü kaplamalara ait şartnamelerde oranlar ağırlıkça yüzde cinsinden belirtilir. Buna karşılık bağlayıcılar çok defa hacimce ölçülür. Sıcak karışımarda ise bağlayıcının genleşme katsayısının belirlenmesi faydalıdır. Böylece herhangi bir sıcaklığıtaki özgül ağırlık hesaplanabilir. İkincisi; hidrokarbonlu bağlayıcının cinsinin bilinmesi açısından özgül ağırlık yararlıdır (Umar ve Ağar, 1991).

Özgül ağırlık tayini için piknometre metodu kullanılır. Bu metotta, önce boş piknometre kabı kuru olarak tartılır, daha sonra su ile doldurulur ve tekrar tartılır. Piknometre kabı boşaltılır, kurutulur, içine uygun miktarda bağlayıcı genellikle 2/3 yükseklüğine kadar ya küçük parçalar halinde veya eritilmiş malzeme akıtarak konur. Eğer ısıtılmış malzeme akıtilacak ise malzeme içinde hava kabarcıkları kalmamasına dikkat edilmesi gereklidir. Piknometre içinde kalan boşluk su ile doldurulur ve tartılır. deneyde kullanılacak su saf su olmalıdır. Deney, genellikle 25 °C 'de yapılır. Farklı sıcaklıklarda yapılacaksa 25 °C 'ye çevirmek için çeşitli abaklardan yararlanılır (Umar ve Ağar, 1991).

$$\text{Özgül ağırlık (kN/cm}^3\text{)} = \frac{C - A}{B - A - (D - C)} \quad (3.11)$$

A= Piknometre ağırlığı (gr)

B= Su ile dolu piknometre ağırlığı (gr)

C=Piknometre ve asfalt ağırlığı (gr)

D=Piknometre, asfalt ve su ağırlığı (gr)

### **3.2.4. Deney Numunelerinin Hazırlanmasında Kullanılacak Agrega Gradasyonunun Belirlenmesi**

Agrega, kırılmış çakıl veya taş, kum ve mineral fillerden oluşur. Yolun yapıldığı yörede bulunan malzemeden faydalanan uygun bir çözümdür. Kaplama tabakası kendine gelen yükleri sabit bit deformasyona uğramadan temel tabakasına geçirecek kadar kararlı olmalıdır. Bu da agreganın granülometrik bileşimine, danelerin şekline ve direğine bağlıdır (Umar ve Ağar, 1991).

Agrega granülometrisine ve diğer özelliklerine ait şartname sınırları Çizelge 3.2. de verilmiştir (Bayındırlık ve İskan Bakanlığı, 1994).

**Çizelge 3.2. Agrega granülometrisine ait şartname sınırları**

<b>Elek Boyutu</b>	<b>Binder Tabakası Ağırlıkça Geçen %</b>			<b>Aşırıma Tabakası Ağırlıkça Geçen %</b>					
	<b>Tip A</b>	<b>Tip B</b>	<b>Tip C</b>	<b>Tip A</b>	<b>Tip B</b>	<b>Tip C</b>	<b>Tip D</b>	<b>Tip E</b>	<b>Tip F</b>
1"	100	100	100	--	--	--	--	--	--
¾ "	82-100	80-100	77-100	100	100	100	--	--	--
½ "	68-87	63-81	59-77	89-100	84-100	81-100	100	100	100
⅓ "	60-79	54-72	49-66	80-95	75-91	71-87	87-100	87-100	80-100
No. 4	46-65	50-58	34-52	64-81	57-75	52-70	66-82	60-77	55-72
No. 10	34-51	28-45	23-39	48-65	42-59	36-53	47-64	41-58	36-53
No. 40	17-29	14-25	12-22	26-40	22-35	17-30	24-36	20-32	16-28
No. 80	9-18	8-16	7-14	15-26	12-22	9-19	13-22	11-19	8-16
No. 200	2-7	2-7	2-7	4-10	4-10	4-10	4-10	4-10	4-10

### 3.2.5. Marshall Stabilite Deney Numunelerinin Hazırlanması

Deney numuneleri  $63.5 \pm 1.27$  mm (2.5 inç  $\pm$  0.05 inç) yüksekliğinde briket hazırlayabilecek miktarda (yaklaşık 1200 gr) agrega numunesi ile önceden belirlenmiş miktarda bitüm ile hazırlanır (Önal ve Kahramangil, 1993).



Şekil 3.2. Marshall stabilite sıkıştırma aleti

Asfalt çimentosu ve sıvı petrol asfaltın  $170 \pm 20$  °C viskozite oluşturacak şekilde ısıtılacağı sıcaklık, karıştırma sıcaklığıdır. Numuneler 101.6 mm (4 inç) çapında ve 76.2 mm (3 inç) yüksekliğindeki numune kalıbında, 457.2 mm (18 inç) den düşen 4536 g (10 lb) ağırlığındaki özel bir tokmakla sıkıştırılır. Numunenin her iki yüzüne trafik durumuna göre orta trafik için 50, yüksek trafik için ise 75 darbe vurulur.

### 3.2.6. Çalışmada Kullanılan Diğer Bağıntılar

#### 3.2.6.1. Farklı Bitüm Miktarlarında Karışımın Maksimum Özgül Ağırlığı

Bitüm miktarının değişmesi, bitüm absorpsyonunu önemli ölçüde değiştirmediginden, her bir bitüm yüzdesi için maksimum özgül ağırlık aşağıdaki formül ile hesaplanabilir.

$$D_T = \frac{100 + W_a}{\frac{100}{G_{ef}} + \frac{W_a}{G_b}} \quad (3.12)$$

$D_T$  = Kaplama karışımının boşluksuz maksimum özgül ağırlığı ( $\text{kN}/\text{cm}^3$ )

$W_a$  = Agrega ağırlığının yüzdesi olarak bitüm ağırlığı (gr)

$G_{ef}$  = Agreganın efektif özgül ağırlığı ( $\text{kN}/\text{cm}^3$ )

$G_b$  = Bitüm özgül ağırlığı ( $\text{kN}/\text{cm}^3$ )

### 3.2.6.2. Sıkıştırılmış Kaplama Karışımındaki Boşluk Hacmi Yüzdesi

Agregalar arası boşluk yüzdesi (VMA), efektif bitüm miktarını ve hava boşluğunu içeren, sıkıştırılmış kaplama karışımının agrega daneleri arasındaki boşluk olarak tanımlanır ve toplam hacmin yüzdesi olarak hesaplanır.

$$VMA = 100 - \frac{D_p}{G_{sb}} \times \frac{100}{100 + W_a} \times 100 \quad (3.13)$$

VMA = Agregalar arası boşluk yüzdesi (%)

$D_p$  = Sıkıştırılmış karışımın hacim özgül ağırlığı ( $\text{kN}/\text{cm}^3$ )

$G_{sb}$  = Agreganın hacim özgül ağırlığı ( $\text{kN}/\text{cm}^3$ )

$W_a$  = Agrega ağırlığının yüzdesi olarak bitüm ağırlığı (gr)

### 3.2.6.3. Sıkıştırılmış Karışımındaki Hava Boşluğu ve Asfaltla Dolu Boşluk Yüzdesinin Hesaplanması

Sıkıştırılmış kaplama karışımı içindeki hava boşluğu, kaplanmış agregal daneleri arasındaki küçük hava boşluklarından ibarettir.

$$V_h = \frac{D_T - D_p}{D_T} \times 100 \quad (3.14)$$

$$V_f = \frac{VMA - V_h}{VMA} \times 100 \quad (3.15)$$

$V_h$  = Toplam hacmin yüzdesi olarak sıkıştırılmış karışımındaki agrega boşluğu (%)

$V_f$  = Asfaltla dolu boşluk yüzdesi (%)

$D_T$  = Kaplama karışımının maksimum özgül ağırlığı ( $\text{kN}/\text{cm}^3$ )

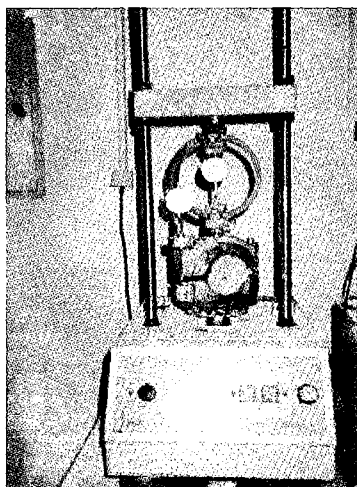
$D_p$  = Sıkıştırılmış karışımın hacim özgül ağırlığı ( $\text{kN}/\text{cm}^3$ )

### 3.2.7. Marshall Stabilite Deneyi

Bu metod, Marshall Stabilite deney aleti yardımıyla bitümlü kaplama karışımlarından hazırlanan silindirik briquetlerin yanal yüzeylerine yükleme yaparak plastik akmaya karşı direncin ölçümünü kapsar (ASTM D 1559-89, 1992). Ülkemiz karayollarında bitümlü karışımlara uygulanan stabilite deneyi Marshall deneyidir. Bu deney esas olarak bir serbest basınç deneyi olup numune yükleniği sırada tamamen sınırlanmaz (Umar ve Ağar, 1991).

Marshall deney numuneleri en az bir gece oda sıcaklığında bekletildikten sonra boyları ölçülecek havada, suda ve doygun-yüzey kuru ağırlıkları tartılır ve deneye alınır. Numuneleri istenilen sıcaklığa getirmek için 30-40 dakika su banyosunda veya 2 saat etüvde bekletilir. Banyo veya etüv sıcaklığı asfalt çimentolu briquetler için 60 °C'dir. Numune çelik bir halkanın iki segmanı arasına yerleştirilir. Akma ölçer (flowmeter) yerleştirilerek sıfırlanır. Maksimum üye erişinceye kadar, dakikada 50.8 mm lik (2 inç) bir hızla yükleme yapılır. Maksimum yük kaydedilir. Akma ölçer boşaltılır ve akma değeri ölçülür. Deney numunesinin su banyosundan çıkarılıp, maksimum yük saptamasına kadar geçen süre 30 s.' den fazla olmamalıdır. Numune yüksekliği 63.5 mm'den (2 1/2 inç) farklısa Marshall Stabilite düzeltme katsayıları kullanılarak üye düzeltme faktörü uygulanır (ASTM D 1559-89, 1992).

Deneyde; üst segman sabittir. Alt segman yükleme hızı ise 50.8 mm/dakikadır. Basınç arttıkça stabilometrede okunan değer artarak maksimuma ulaşır, daha sonra düşmeye başlar. Bu anda numune kırılır. Stabilometrede okunan maksimum değer yardımıyla bitümlü karışımın stabilitesi saptanır. "Marshall Stabilitesi" adı verilen bu değer örneğin kırılmasını sağlayan kg cinsinden toplam yük miktarıdır. Kırılma sırasında örneğin çökme ya da hareket miktarı da ölçülür. Buna "Akma" denir. Ayrıca bu deneyle karışımın birim ağırlığı, boşluk oranı ve bağlayıcı ile dolu bulunan agregat boşluğu yüzdesi de saptanır (Umar ve Ağar, 1991).



Şekil 3.3. Marshall stabilite deney aleti

### **3.2.8. Optimum Bitüm Yüzdesinin Belirlenmesi**

Optimum bitüm yüzdesinin tayin edilebilmesi için çeşitli bitüm yüzdelerinde hazırlanmış olan numunelere ait Marshall stabilite, birim ağırlık, bağlayıcı ile dolu agrega boşluğu yüzdesi ve boşluk oranını grafiklerinin çizilmesi gerekir. Asfalt çimentosunun Marshall stabilite değerini maksimum yaptığı değer, maksimum birim ağırlığı veren asfalt çimentosu oranı, şartnameye uygun olarak bağlayıcı ile dolu agrega boşluğu yüzdesini % 80 olarak sağlayan bağlayıcı oranı % 4 boşluk oranını (şartnamede belirtilen % 3-5 arasındaki sınır içinde kalan) sağlayan asfalt oranı grafiklerden bulunur. Bulunan dört asfalt oranının ortalaması optimum asfalt çimentosu oranını verecektir (Umar ve Ağar, 1991).

Bu orana tekabül eden akma değeri akma-bitüm grafiğinden bakılarak, şartnamede belirtilen değerlerin (10-20) arasında olup olmadığı kontrol edilir. Bu şekilde saptanan bağlayıcı oranına göre gerçekleştirilen bir beton asfalt karışımı şartnamelerde aranan özellikleri taşıyacaktır (Umar ve Ağar, 1991).

### **3.2.9. Plastik Deformasyon Deneyi**

Yollardaki bozulma nedenlerinden biri, yol yüzeyinde taşit tekerleğinin ilerlediği kısımlarda oluşan düşey yöndeki plastik deformasyondur. Genellikle kendini yol

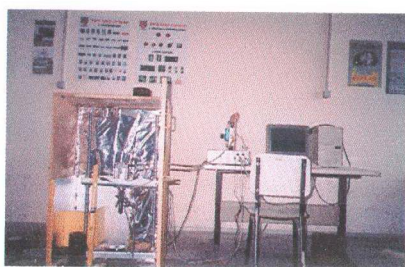
yüzeyinde oluşan ondülə şeklärde gösterir (Karaşahin, 1994). Trafıge maruz her üstyapıda, her bir taşının geçmesiyle oluşan deformasyonların çoğunluğunun elastik olmasına rağmen çok küçük de olsa plastik deformasyon oluşmaktadır. Kanalize olmuş trafikte plastik deformasyon genellikle tekerlek izi derinliği ile ölçülür. Pek çok ülkede trafik yoğunluğunun, yük seviyesinin ve yasal dingil ağırlıklarının artması, dikkatleri plastik deformasyona çekmiştir. Yüzey deformasyonu üstyapının her tabakasındaki düşey deformasyonların bileşenidir (TİĞDEMİR, 1999)

Plastik deformasyon deneylerinde Marshall briquetleri kullanılmıştır. Silindir şeklärdeki (101,6 mm çapında ve 63,5 mm yüksekliğinde) deney numunesi yüksekliği boyunca tekrarlı basınç gerilmesine maruz bırakılır. Buradaki tekrarlı yükleme bu yol kesitinden geçen araçların o yol kesitine uyguladığı yüze karşılık gelmektedir. Normal yoldaki yüklemeden farkı ise frekansıdır. Bu deneyde kullanılan yükleme frekansı 0,5 seçilmiştir. Yani teorik olarak 2 saniyede bir araç geçmektedir. Böylece bir günde sabit aralıklarla 43200 araç geçmiş gibi düşünülmektedir (TİĞDEMİR vd., 1998).

Marshall deney prosedürlerine göre hazırlanan numuneler deneye tabi tutulmadan önce deney sıcaklığındaki su banyosunda 30 dakika tutularak deney sıcaklığına getirilir. Sıcaklığını deney sıcaklığına ulaşan numunelerin altına ve üstüne dairesel yükleme plakaları yerleştirilir. Bu yükleme plakalarının çapı 6.67 cm, kalınlığı yaklaşık 1 cm' dir (TİĞDEMİR, 1999). Daha sonra bilgisayardan uygulanacak yük, oluşturulacak veri dosyası ismi girilir ve bilgiler ekranda onay alınmak üzere görüntülenir. Daha sonra deney başlatılır. Deney başladıkten sonra deneyin sonuna kadar kontrol tamamen bilgisayardadır. Gerekli tüm işlemler bilgisayar tarafından yapılır. Aynı anda deney sonuçları otomatik olarak data dosyasına yüklenir. Numune kırıldığı anda deney bilgisayar tarafından durdurulur (TİĞDEMİR vd., 1998)

Bu testlerde transdüserler düşey deformasyonu ölçmektedir. Bilgisayar otomatik olarak transdüserlerin ilk konumunu algılar. Plastik deformasyon testleri 5000 yük tekrar ile yapılmıştır. Şartlandırma yükü olarak, normal yükleme 100 tekrar

uygulanmıştır. Uygulanan gerilme 100 kPa' dır. İstenen yükleme sonucunda deney bitirilmektedir. Deney sıcaklığı 40 °C' dir (TİĞDEMİR, 1999)



Şekil 3.4. Tekrarlı çekme indirekt yükleme deney aleti

### **3.2.10. Optimum Filler Yüzdesinin Belirlenmesi**

Çalışmada optimum filler yüzdesinin tayini için iki farklı yöntem kullanılmıştır. Bunlardan birincisi filler/bitüm oranına göre tespit edilen filler yüzdesidir. Diğer ise filler oranına göre tespit edilen filler yüzdesidir.

#### **3.2.10.1. Filler/Bitüm Oranına Göre Optimum Filler Yüzdesinin Belirlenmesi**

Marshall stabilite deneyi sonucunda tespit edilen optimum bitüm yüzdesi sabit tutularak filler/bitüm oranı 0,4, 0,5, 0,6, 0,7 ve 0,8 oranlarında (hacimce) değiştirilmiştir.

#### **3.2.10.2. Filler Oranına Göre Optimum Filler Yüzdesinin Belirlenmesi**

Uygulanan bir diğer yöntem ise, filler oranının toplam agrega oranına göre belirlenmesidir. Çalışmada filler % 0, 2, 4, 6, 8 ve 10 oranlarında değiştirilmiştir.

## 4. ARAŞTIRMA BULGULARI

### 4.1. Mineral Agreganın Fiziksel Özellikleri

Isparta civarındaki Gümüşgün taşocagından alınan kırmataş mineral agreganın özgül ağırlık tayini için yapılan deneyler ve sonuçları Çizelge 4.1 ve 4.2' de verilmiştir.

Çizelge 4.1. İri agrega için yapılan deneyler ve sonuçları

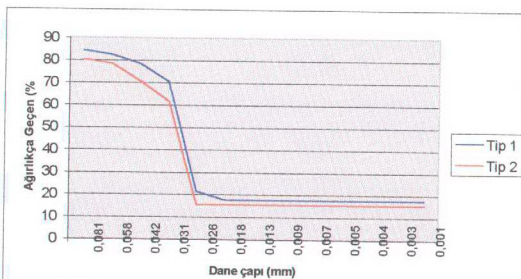
Deney Adı	İlgili Standart	Ölçülen Değer
Hacim özgül ağırlık	(ASTM C 127-88, 1992)	26,97 kN/m <sup>3</sup>
Suya doygun özgül ağırlık		27,03 kN/m <sup>3</sup>
Su emme yüzdesi		% 0,2

Çizelge 4.2. İnce agrega için yapılan deneyler ve sonuçları

Deney Adı	İlgili Standart	Ölçülen Değer
Hacim özgül ağırlık	(ASTM C 128-88, 1992)	26,03 kN/m <sup>3</sup>
Suya doygun özgül ağırlık		26,45 kN/m <sup>3</sup>
Su emme yüzdesi		% 2,2

### 4.2. Hidrometre Deneyi Bulguları

Çalışmada değerlendirilmesi düşünülen mermer toz atıklarının hidrometre deneyi yapılmıştır. Deneyde kullanılan mermer toz atıklarının hidrometre deneyi sonucu Şekil 4.1' de görülmektedir Burada Tip 1 Modülmer Mermer Fabrikasının, Tip 2 ise İşmer Mermer Fabrikanın atıklarını göstermektedir.



Şekil 4.1. Deneyde kullanılan mermer toz atıklarının hidrometre deneyi sonucu

Mermer toz atıklarının ASTM C 117-90, 1992' ye göre yıkama yoluyla tespit edilen gradasyonu Çizelge 4.3' de verilmiştir.

**Çizelge 4.3.** Mermer toz atıklarının yıkama yoluyla tespit edilen gradasyonu

Elek Boyutu	% Geçen (Yıkama Yoluyla)
2,000 mm (No 10)	100,00
0.600 mm (No. 30)	99,40
0.300 mm (No. 50)	95,10
0.075 mm (No. 200)	91,20

#### **4.3. Asfalt Çimentosunun Özellikleri**

Çalışmada, Isparta Belediyesi asfalt şantiyesinde kullanılan bitüm malzemesi kullanılmıştır. Bitüm özelliklerinin tespiti için yapılan deneyler ve sonuçları Çizelge 4.4. de verilmiştir. Duktilite deneyinde, deney aletinin boyu olan 150 mm' de kopma olmadığından deney sonucu 150+ şeklinde gösterilmiştir.

**Çizelge 4.4.** Çalışmada kullanılan agregat malzemesi için yapılan deneyler ve sonuçları

Deney Adı	Ölçülen Özellik	İlgili Standart/Kaynak	Ölçülen Değer
Penetrasyon Deneyi	Penetrasyon değeri	ASTM D 5, 1992 ve TS 118, 1998	0.93 mm (90 –100 penetrasyonlu asfalt)
Duktilite Deneyi	Duktilite değeri	ASTM D 113-86, 1992 ve TS 119, 1977	150+ mm
Asfalt çimentosu özgül ağırlık deneyi	Özgül ağırlık değeri	Umar ve Ağar, 1991	1,07

#### **4.4. Numunelerde Kullanılacak Agregat Gradasyonu**

Deneyde kullanılan agreganın elek analizi ASTM C 136-84a, 1992' ye göre yapılmıştır. Mevcut agreganın elek analizi sonuçları ve deneyler için seçilen agregat granülometrisi Çizelge 4.5' de verilmiştir.

Çizelge 4.5. Deneyde kullanılan agreganın mevcut granülometrisi ve seçilen Binder C granülometrisi

Elek Boyutu	Doğal Agrega Granülometrisi	Marshall Deneyi Granülometrisi (Ortalama Binder Tip C)
1"	100,00	100,00
3/4"	97,27	88,50
1/2"	80,50	68,00
3/8"	66,77	57,50
No:4	38,42	43,00
No:10	22,73	31,00
No:40	14,33	17,00
No:50	5,70	13,75
No:80	3,63	10,50
No:200	1,90	4,50

Optimum filler yüzdesinin tespiti için plastik deformasyon deneyinde kullanılan filler/bitüm oranına göre agrega gradasyonu Çizelge 4.6.' de verilmiştir.

$\frac{\text{Filler}}{\text{Asfalt}} = 0,4 \sim 0,8$  (hacimce) olarak seçilmiştir.

Çizelge 4.6. Filler/bitüm oranına göre agrega gradasyonu

Elek Boyutu	Filler/Bitüm Oranı				
	0,4	0,5	0,6	0,7	0,8
1"	100,00	100,00	100,00	100,00	100,00
3/4"	100,00	100,00	100,00	100,00	100,00
1/2"	81,95	85,37	88,90	92,40	95,63
3/8"	71,85	74,68	77,67	80,60	83,32
No:4	52,90	39,91	59,50	62,80	65,86
No:10	36,85	56,14	43,10	46,20	49,09
No:50	17,65	19,99	22,42	24,80	27,01
No:80	9,50	11,30	13,17	15,00	16,70
No:200	4,30	5,40	6,50	7,60	8,60

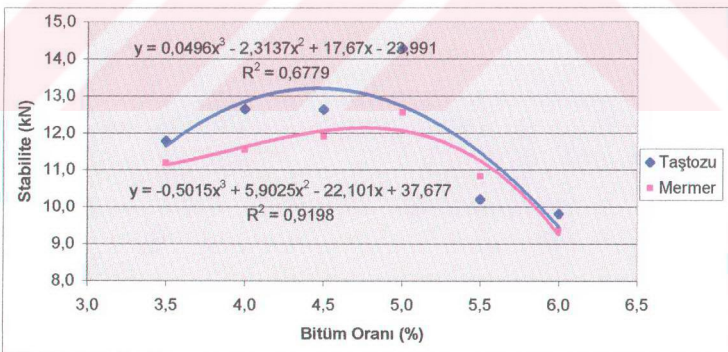
Optimum filler yüzdesinin tespiti için kullanılan filler oranına göre agrega gradasyonu Çizelge 4.7.' da verilmiştir. Bu gradasyon daha sonra tüm filler tipleri için plastik deformasyon değerinin tespitinde kullanılmıştır.

Çizelge 4.7. Filler oranına göre agrega gradasyonu

Elek Boyutu	Filler Oranı (%)					
	% 0	% 2	% 4	% 6	% 8	% 10
1"	100	100	100	100	100	100
3/4"	97	97	97	97	97	97
1/2"	81	81	81	81	81	81
3/8"	67	67	67	67	67	67
No:4	43	43	43	43	43	43
No:10	23	23	23	23	24	25
No:40	14	15	15	16	17	19
No:50	5	6	7	9	11	13
No:80	3	4	5	7	9	11
No:200	0	2	4	6	8	10

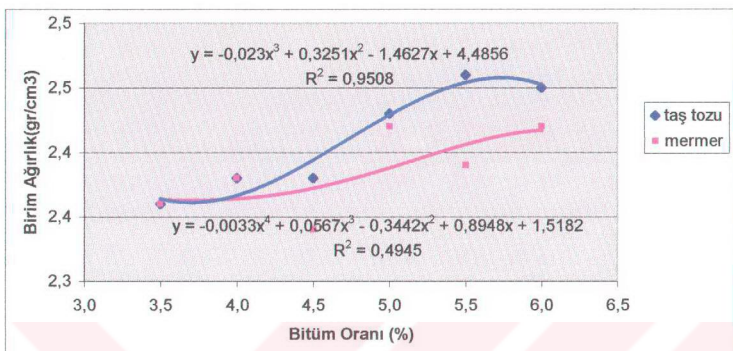
#### 4.5. Optimum Bitüm Yüzdesi

Optimum bitüm yüzdesinin tespit edilmesi için Marshall deney metodu ve numuneleri hazırlanmış, agrega gradasyonu sabit tutularak % 3,5-4,0-4,5-5,0-5,5 ve 6,0 oranlarında bitüm oranı kullanılmıştır. Deney sonuçlarına ilişkin grafikler Şekil 4.2, 4.3, 4.4, 4.5 ve 4.6' da görülmektedir. Deney sonuçlarına ilişkin çizelgeler ise Ek Çizelge 1 ve 2' de verilmiştir.



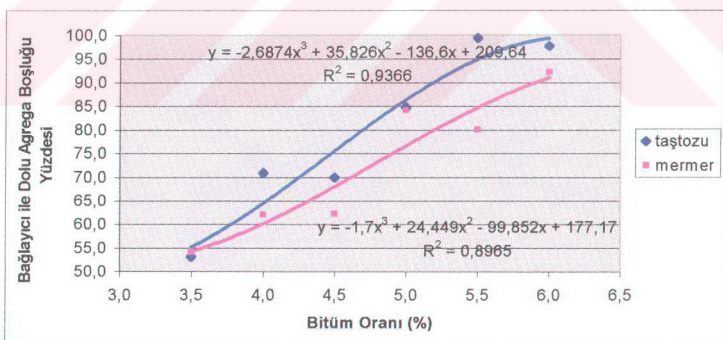
Şekil 4.2. Karışımın stabilite-bitüm ilişkisi

Deney sonucunda taştozunun mermere göre daha fazla kararlılık gösterdiği görülmüştür (Şekil 4.2).



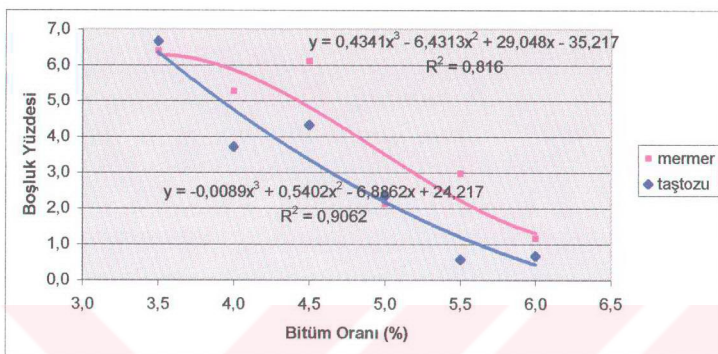
Şekil 4.3. Karışımın birim ağırlık-bitüm ilişkisi

Deney sonucunda taştozu fillerli karışımın mermer fillerli karışımı nazaran birim ağırlığının daha fazla olduğu görülmüştür (Şekil 4.3).



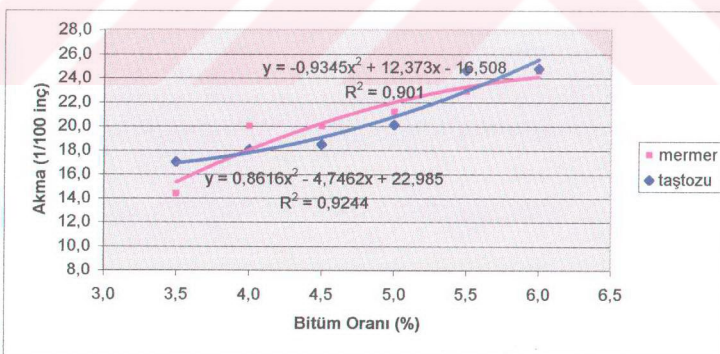
Şekil 4.4. Taş tozu fillerli karışımın bağlayıcı ile dolu agrega boşluğu-bitüm ilişkisi

Deney sonucunda taştozu fillerli karışımın mermer fillerli karışımına nazaran daha fazla bağlayıcı ile dolu agrega boşluğu yüzdesine sahip olduğu görülmüştür (Şekil 4.4).



Şekil 4.5. Taş tozu fillerli karışımının boşluk-bitüm ilişkisi

Deney sonucunda taştozu filerli karışımın mermer filerli karışımlara nazaran daha az boşluk yüzdesine sahip olduğu görülmüştür (Şekil 4.5).



Şekil 4.6. Mermer tozu fillerli karışımının akma-bitüm ilişkisi

Deney sonucunda karışımların akma-bitüm ilişkisi birbirine yakın değerler vermiştir (Şekil 4.6).

Asfalt çimentosu oranı arttıkça Marshall stabilité değeri artmakte ve bir maksimumdan geçmekte, daha sonra düşmektedir (Şekil 4.2). Birim ağırlık, taş tozu ile hazırlanmış numunelerde bitüm %' sine bağlı olarak artmıştır (Şekil 4.3.). Bunun yanında, bağlayıcı ile dolu agrega boşluğu yüzdesi değerleri asfalt çimentosu oranının artması ile artmaktadır (Şekil 4.4). Benzer olarak, boşluk oranı da asfalt çimentosu oranının artmasıyla azalmaktadır. Akma değerleri asfalt çimentosu oranının artması ile artmaktadır (Şekil 4.3).

Akma değeri beton asfalt kaplamaların trafik yükleri altındaki davranışlarını belirleyen, beton asfaltların plastiklik ve esneklik özelliklerini yansitan bir değeridir. Marshall numunelerinin kırıldığı yüze tekabül eden deformasyonunu temsil eden akmanın değeri sıkışmış karışımların iç sürtünmesinin bir ölçüsüdür ve akma değeri ile iç sürtünme arasında doğrusal ters bir ilişki vardır. Şartnamelerde belirtilen en yüksek akma değeri, karışımın plastikliğini ve kullanılabilecek en yüksek bağlayıcı yüzdesini, en alt değeri ise karışımın gevrekliğini ve dayanıklılığını kontrol eder. Şartnamelerde akmanın 10-20 (1/100 inç' lik akma 1 birim sayılır) arasında olması istenir (Umar ve Ağar, 1991).

Asfalt çimentosunun taştozu fillerli karışımlarda % 4.5, mermer fillerli karışımlarda 5.0 olması halinde Marshall stabilité değeri maksimum olmaktadır (Şekil 4.2.). Maksimum birim ağırlık taştozu fillerli karışımlarda % 5.7, mermer fillerli karışımlarda 6.0 görülmektedir (Şekil 4.3). Şartnameye uygun olarak, bağlayıcı ile dolu agrega boşluğu yüzdesini % 80 olarak sağlayan bağlayıcı oranı taştozu fillerli karışımlarda % 4.75, mermer fillerli karışımlarda 5.2 olarak tespit edilmiştir (Şekil 4.4). % 4 boşluk oranını (şartnamede belirtilen % 3-5 arasındaki sınır içinde kalan) sağlayan asfalt oranının taştozu fillerli karışımlarda % 4.3, mermer fillerli karışımlarda 4.7 olduğu görülmektedir (Şekil 4.5). Bu şekilde bulunan dört asfalt oranının ortalaması optimum asfalt çimentosu oranını verecektir.

$$\text{Taştozu için optimum bağlayıcı oranı : } \frac{4.5 + 5.7 + 4.75 + 4.3}{4} = 4,8$$

Bu orana tekabül eden akma değeri Şekil 4.6' dan bakıldığından 20,5 olup, şartnamede belirtilen maksimum değer olan 20' ye yakın bir değerdir. Bu şekilde saptanan bağlayıcı oranına göre gerçekleştirilen bir beton asfalt karışımı şartnamelerde aranan özellikleri taşıyacaktır.

$$\text{Mermer için optimum bağlayıcı oranı : } \frac{5.0 + 6.0 + 5.2 + 4.7}{4} = 5.2$$

Bu orana tekabül eden akma değeri Şekil 4.6' dan bakıldığından 22 olup, şartnamede belirtilen maksimum değer olan 20' nin üzerinde bir değerdir. Şartnamede istenen koşulların sağlanması için 20 akma değerine tekabül eden asfalt çimentosu yüzdesi 4.6 olarak görülmektedir. Bu şekilde saptanan bağlayıcı oranına göre gerçekleştirilen bir beton asfalt karışımı şartnamelerde aranan özellikleri taşıyacaktır.

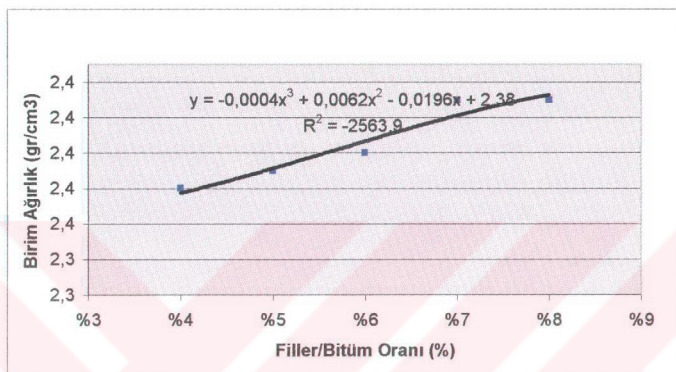
#### **4.6. Optimum Filler Yüzdesi**

Daha önce yapılan bir çalışmada (Puzinauskas, 1983), karışımındaki fillerler miktarlarının artması ile adezyon kuvvetlerinin azalma eğiliminde olduğu bulunmuştur. Fillerin fazla miktarlarda kullanımı veya uygunsuz fillerin seçimi ile, böyle zayıf adezyon, özellikle yol karışımı, sıvı su veya su buharının hareketine maruz kaldığında kritik olabilir. Binder filmleri ile mineral agrega arasında böyle bir bağ, zayıflatılabilir ve hatta koparılabilir. Bu zayıflık, kötü performansa ve tutarsız yol karışımına sebep olur.

##### **4.6.1. Filler/Bitüm Oranına Göre Optimum Filler Yüzdesi**

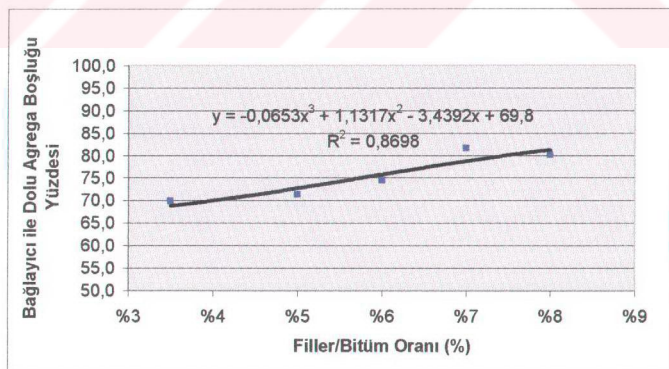
Deneysel çalışmada kullanılacak olan filler miktarının belirlenmesi için öncelikle bitüm ve miktarı ile agrega ve gradasyonu sabit tutulmuştur. Bitüm oranı olarak optimum bitüm miktarı olarak tespit edilen % 4,7, agrega gradasyonu olarak ise Çizelge 4.6' da bulunan gradasyon kullanılmıştır. Filler/bitüm oranı % 4, 5, 6, 7 ve 8 oranlarında (hacimce) değiştirilerek plastik deformasyon deneyi yapılmıştır. Numunelerin hazırlanmasında taş tozu filler olarak kullanılmıştır.

Hazırlanan Marshall numunelerine ait, birim ağırlık değerleri, bağlayıcı ile dolu agrega boşluğu yüzdesi ve boşluk yüzdesi değerleri ile filler/bitüm oranı arasındaki ilişkilere ait grafikler Şekil 4.7, 4.8 ve 4.9' da çizelgeler ise Ek Çizelge 3' de, filler/bitüm oranına göre hazırlanan karışımın birim plastik deformasyon değerleri arasındaki ilişkiler Şekil 4.10' da verilmiştir



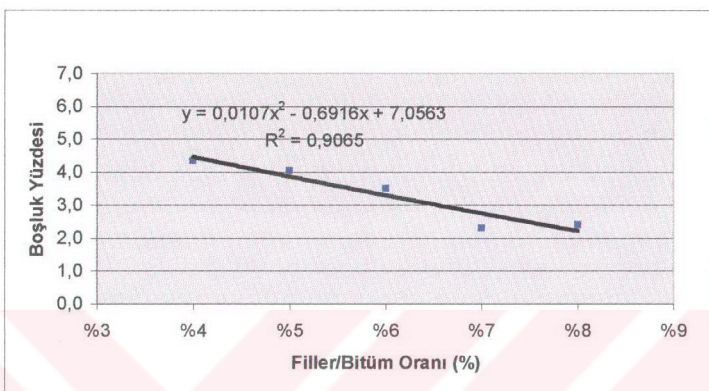
Şekil 4.7. Karışımın birim ağırlık-filler/bitüm ilişkisi

Şekil 4.7' de görüldüğü gibi filler/bitüm oranının artması ile birim ağırlık artmaktadır.



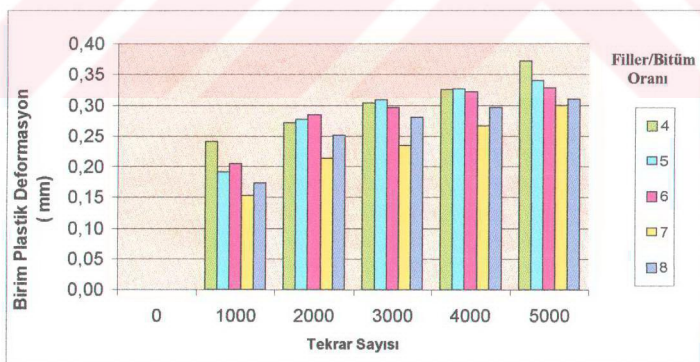
Şekil 4.8. Karışımın bağlayıcı ile dolu agrega boşluğu-filler/bitüm oranı ilişkisi

Hazırlanan karışımın bağlayıcı ile dolu agrega boşluğu yüzdesi karışımındaki filler/bitüm oranının artması ile artmaktadır (Şekil 4.8)



Şekil 4.9. Karışımın boşluk yüzdesi -filler/bitüm oranı ilişkisi

Şekil 4.9' da görüldüğü gibi karışımındaki filler/bitüm oranının artması ile boşluk miktarı azalmaktadır.



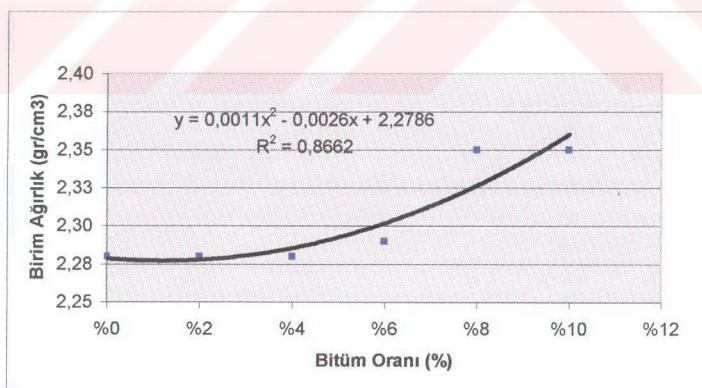
Şekil 4.10. Filler/bitüm oranına göre hazırlanan karışımın plastik deformasyon değerleri

Karışımındaki filler/bitüm oranı artışı ise birim plastik deformasyon % 7 filler/bitüm oranına kadar azalmaktadır. Fakat % 8 filler/bitüm oranında bir artma görülmüştür. Dolayısıyla filler/bitüm oranına göre hazırlanan karışımlarda elde edilen optimum filler/bitüm oranı % 7 olarak söylenebilir (Şekil 4.10).

#### 4.6.2. Filler Oranına Göre Optimum Filler Yüzdesi

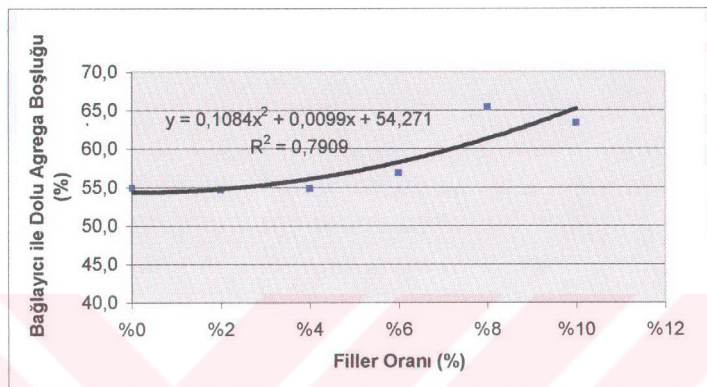
Deneysel çalışmada kullanılacak olan filler miktarının belirlenmesi için bitüm ve miktarı ile agrega ve gradasyonu sabit tutulmuştur. Bitüm oranı olarak optimum bitüm miktarı olarak tespit edilen % 4,7, agrega gradasyonu olarak ise Çizelge 4.7'de bulunan gradasyon kullanılmıştır. Numunelerde filler malzemesi olarak taştozu kullanılmıştır. Filler oranı % 0, 2, 4, 6,8 ve 10 oranlarında (ağırlıkça) değiştirilerek plastik deformasyon deneyi yapılmıştır.

Hazırlanan marshall numunelerine ait, birim ağırlık, bağlayıcı ile dolu agrega boşluğu yüzdesi ve boşluk yüzdesi değerleri ile filler malzemeleri arasındaki ilişkiye ait grafikler Şekil 4.11, 4.12 ve 4.13'de, çizelgeler ise Ek Çizelge 4' de verilmiştir. Karışımın birim plastik deformasyon değerlerine ait grafik ise Şekil 4.14'de verilmiştir.



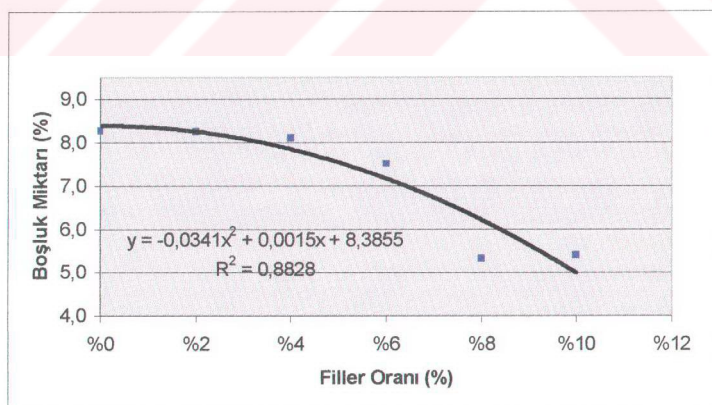
Şekil 4.11. Karışımın birim ağırlık-filler oranı ilişkisi

Şekil 4.11' de görüldüğü gibi karışımında filier oranının artması ile birim ağırlık artmaktadır.



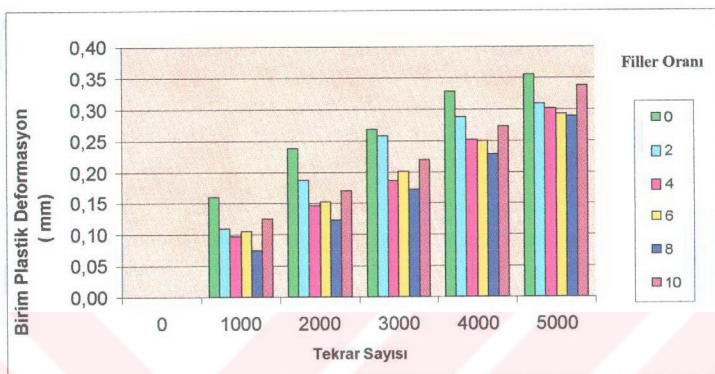
Şekil 4.12. Karışımın bağlayıcı ile dolu agrega boşluğu-filler oranı ilişkisi

Filler oranına göre hazırlanan karışımındaki filler oranının artması ile bağlayıcı ile dolu agrega boşluğu yüzdesi de artmaktadır (Şekil 12).



Şekil 4.13. Karışımın boşluk-filler oranı ilişkisi

Şekil 4.13' de görüldüğü gibi karışımındaki filler oranının artması ile boşluk miktarı azalmaktadır.



Şekil 4.14. Karışımın plastik deformasyon değerleri

Karışımındaki filler oranı artışı ise birim plastik deformasyon % 8 filler oranına kadar azalmaktadır. Fakat % 10 filler oranında bir artma görülmüştür. Dolayısıyla filler oranına göre hazırlanan numunelerde elde edilen optimum filler oranı % 8 olarak söyleyebilir (Şekil 4.14).

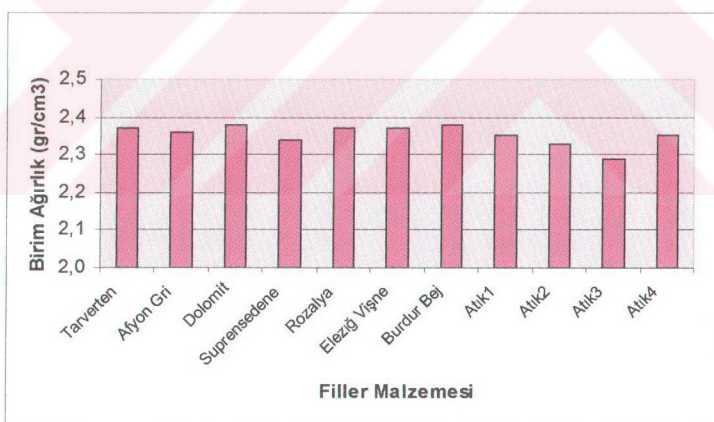
#### **4.7. Mermer Atıklarının Tekrarlı İndirekt Çekme Deneyi ile Belirlenen Mekanik Özellikleri**

Fabrikalardan alınan atıkların hangi cins mermere ait olduğu çoğunlukla bilinemez. Bu nedenle mermer cinslerinin asfalt betonuna etkileri de araştırılmış, bu amaç doğrultusunda 7 ayrı cins mermer (Afyon Gri, Burdur Bej, Dolomit, Elazığ Vişne, Rozalya, Supressedene ve Traverten ) 0.75 mikron (No 200 eleğî) boyutuna indirgenmiştir. Ayrıca değişik mermer fabrikalarından alınan mermer atıklar, No 200 eleğinden elenerek ve doğrudan karışımlarda kullanılmıştır.

Çalışmanın bu kısmında değişik filler malzemeleri ile aynı filler oranı ve bitüm yüzdesi kullanılarak Marshall numuneleri hazırlanmış ve dinamik deformasyon testine tabii tutulmuştur

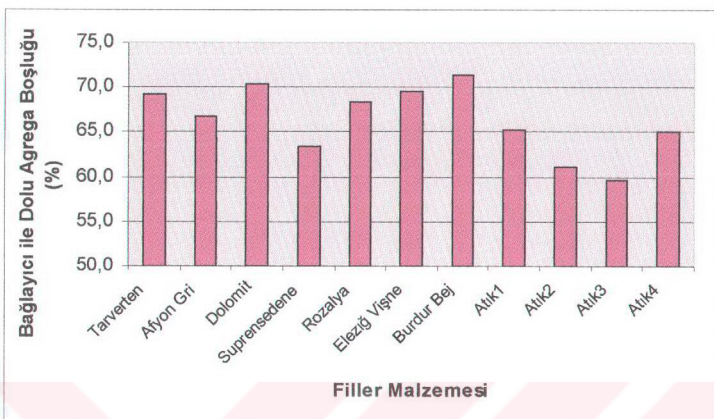
Burada Tip1 ve Tip2, iki farklı mermer fabrikasından alınan ve No 200 eleğinden elenen mermer atıklarının kullanıldığı karışımıları temsil etmektedir. Tip3 ve Tip4 ise aynı fabrikaların atıklarının No 200 eleğinden elenmeden doğrudan kullanıldığı karışımlardır. Bu malzemelerin doğrudan karışımda kullanılabilmeleri için mermer atıklarının daha önce yapılan elek analizi deneyinde No 30 ve No 100 eleklerinden geçmeyen miktarları agrega gradasyonundan çıkarılmıştır.

Hazırlanan marshall numunelerine ait bağlayıcı ile dolu agrega boşluğu yüzdesi, boşluk yüzdesi ve birim ağırlık değerleri ile filler malzemeleri arasındaki ilişkiye ait grafikler Şekil 4.15, 4.16 ve 4.17' de, çizelgeler ise Ek Çizelge 5' de verilmiştir. Farklı filler malzemelerinin birim plastik deformasyon değerleri ise Şekil 4.18' de verilmiştir.



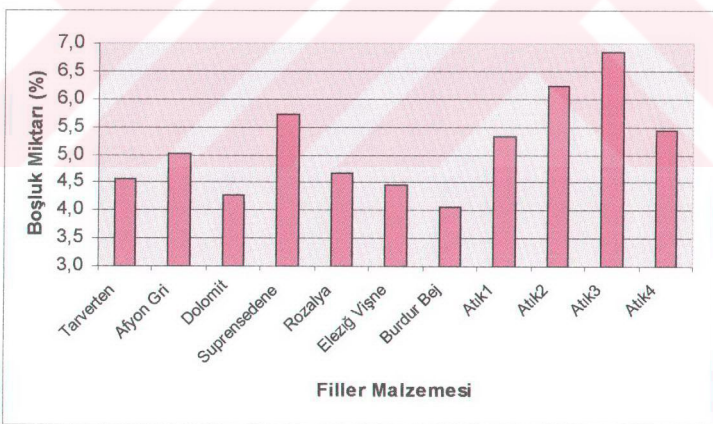
Şekil 4.15. Farklı filler malzemelerinin birim ağırlık değerleri

Şekil 4.15' de görüldüğü gibi farklı filler malzemelerinin birim ağırlık değerleri 2.29 ile 2.38 aralığında değişme göstermiştir.



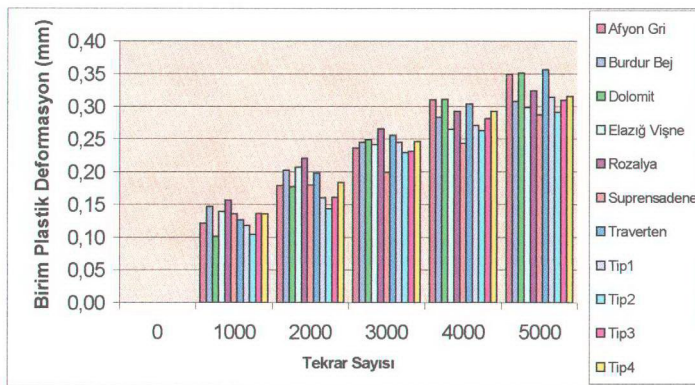
Şekil 4.16. Farklı filler malzemelerinin bağlayıcı ile dolu agrega boşluğu değerleri

Farklı filler malzemelerine ait bağlayıcı ile dolu agrega boşluğu değerleri (%) 59.6 ile 71.3 değerleri arasında değişiklik göstermiştir (Şekil 4.16).



Şekil 4.17. Farklı filler malzemelerinin boşluk miktarı değerleri

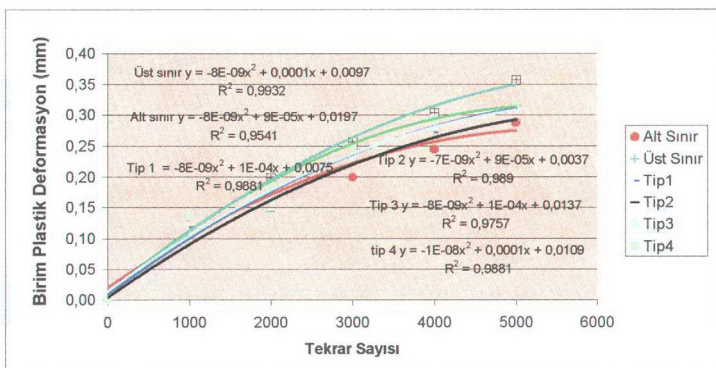
Şekil 4.17' de görüldüğü gibi farklı filler malzemelerine ait karşıları boşluk miktarı değerleri (%) 4.1 ile 6.8 değerleri arasında değişiklik göstermiştir.



Şekil 4.18. Farklı filler malzemelerinin birim plastik deformasyon değerleri

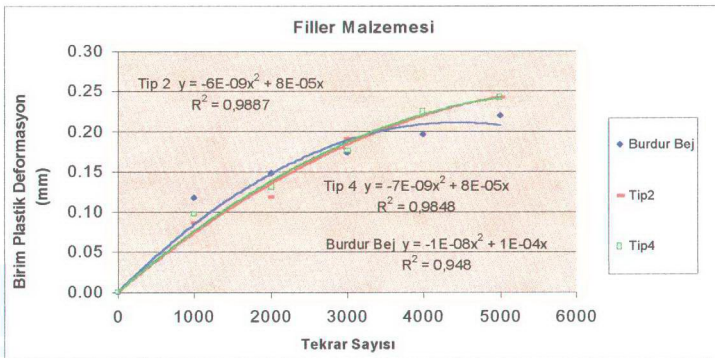
Farklı filler malzemelerine ait birim plastik deformasyon değerleri 0,29 ile 0,36 (mm) değerleri arasında değişmiştir. En fazla deformasyon Traverten cinsi mermere aittir. En az deformasyon ise Suprensadene ve Tip2 cinsi mermerlere aittir (Şekil 4.18).

Mermer atıkları ile farklı mermer cinslerine ait atıkların alt ve üst sınır değerlerinin birim plastik deformasyon değerleri Şekil 4.19' da görülmektedir. Mermer atıkları ister doğrudan kullanılın ister No 200 eleğinden elensin alt ve üst sınır arasında kalmaktadır. Atık mermerlerin kullanılması ile elde edilen numunelerin, diğer mermer cinsi mermerle hazırlanan numunelere benzer bir davranış gösterdiği görülmüştür.



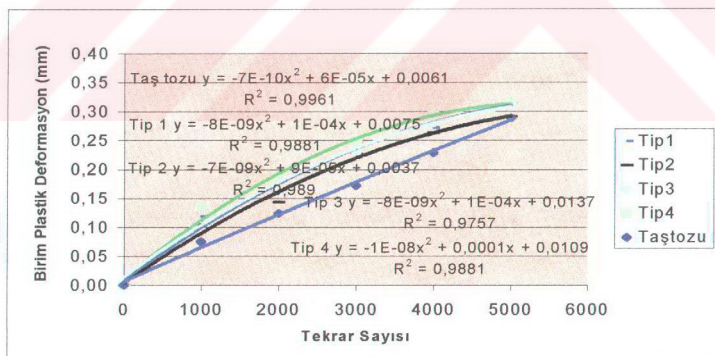
Şekil 4.19. Mermer atıkları ile farklı mermer cinslerine ait atıkların alt ve üst sınır değerlerinin birim plastik deformasyon değerleri

Daha önce de belirtildiği gibi, çalışmada Burdur Bej cinsi mermere ait fabrika atığı doğrudan ve elenerek kullanılmış, ayrıca yine aynı fabrikadan alınan parça mermer laboratuarda öğütülerek No 200 eleğinden elenmiştir. Bu üç tip karışımı ait birim plastik deformasyon değerleri Şekil 4.20' de görülmektedir. Doğrudan fabrikadan alınarak kullanılan Tip 2 ile fabrikadan alınan atığın No 200 eleğinden elenerek kullanıldığı Tip 4 karışımımlarına ait birim plastik deformasyon eğrileri birbirine çok yakın çıkarken, fabrikadan alınıp öğütülen ve No 200 eleğinden elenerek hazırlanan Burdur Bej karışımına ait birim plastik deformasyon eğrisi çok az farklılık göstermiştir.



Şekil 4.20. Burdur bej mermerine ait birim plastik deformasyon değerleri

Optimum filler oranının tayin edilmesi esnasında kullanılan taştozu fillerfillerli karışımalar ile yine filler atıklarının doğrudan ve No. 200 eleğinden elenerek kullanıldığı karışımaların birim deformasyonları karşılaştırıldığında sonuçların birbirine yakın olduğu görülmektedir (Şekil 4.21).



Şekil 4.21. Taştozu ve mermer atıklarına ait birim plastik deformasyon değerleri

## 5. SONUÇLAR VE ÖNERİLER

Mermer toz atıkları özellikle mermer işleme fabrikalarının civarında önemli çevre sorunları oluşturmaktadır. Bu nedenle bu malzemelerin yol üstyapı inşaatında değerlendirilmesi ekonomiye ve çevreye önemli bir katkı getirecektir.

Deneysel çalışma sonuçları göstermiştir ki, taş tozu yerine mermer tozu kullanılması hem Marshall deney sonuçları hem de plastik deformasyon deney sonuçları dikkate alındığında önemli bir farklılık göstermemektedir. Dolayısıyla, mermer tozunun filler malzemesi olarak bitümlü karışımında değerlendirilebileceği kanaati oluşmuştur. Ancak, ekonomik olan mermer toz atıklarının doğrudan bitümlü karışımında kullanılmasıdır. Karışımlara direkt olarak mermer tozu ilave edildiğinde sonuçların diğer mermer malzemelerin sonuçlarına yakın olduğu görülmüştür. Bu bağlamda mermer toz atıklarının doğrudan kullanılmasının mümkün olduğu kanaatini gündeme getirmektedir.

Özellikle mermer işleme fabrikalarına yakın olan yerleşimlerde mermer tozunun bitümlü karışımında kullanılması çevre kirliliğini azaltacaktır. Ancak, fabrikaların mermer atıklarını düzenli bir şekilde stok etmeleri ve mermer tozlarını kurutma sistemlerine sahip olmaları kullanımı mermer toz atıklarının kullanılmasını daha da kolaylaştıracaktır. Aksi taktirde, nemli mermer tozlarının karışımında direkt olarak kullanılması mümkün olmadığından, kurutma için bir enerji harcanması söz konusudur. Bu da maliyeti artırıcı bir unsurdur.

## KAYNAKLAR

- Acar, S. O., Tapkin, S., 1998. Portland Çimentosu Kullanılarak Hazırlanan Marshall Numunelerinin Özelliklerinin İncelenmesi, Asfalt' 98, 2. Ulusal Asfalt Sempozyumu, s 105-117, Ankara
- Ağar, E., Sütaş, İ., Öztaş, G., 1998. Beton Yollar, İstanbul Teknik Üniversitesi İnşaat Fakültesi Matbaası, İstanbul
- Akili, W., Courval, D. J., 1987. Rheological Properties of Sulfur Asphalt Binders with Fillers Determined by The Sliding Plate Rheometer, ASTM Special Technical Publication 941. Publ by ASTM, Philadelphia, PA, USA p 166-178,
- Al-Sayed, M. H., Madany I. M., Buali R. M., 1995. Use of Sewage Sludge Ash in Asphaltic Paving Mixtures in Hot Regions, Construction and Building Materials. v 9 , p 19-23
- Anderson, D.A., Dongre, R., Christensen, D,W III, and Dukatz, E. L., 1992. Effect of Minus No. 200-sized Aggregate on Fracture Behavior of Dense-Graded Hot-Mix Asphalt, Effects of Aggregates and Mineral Fillers on Asphalt Mixture Performance: ASTM STP 1147, American Society for Testing and Materials, Philadelphia, s 154-158
- ASTM C 117-90. 1992. Standard Test Method for Materials Finer than 75- $\mu$ m (No. 200) Sieve in Mineral Aggregates by Washing. Annual Book of ASTM Standards. USA
- ASTM C 127-88. 1992. Test Method for Specific Gravity and Adsorption of Coarse Aggregate. Annual Book of ASTM Standards. USA
- ASTM C 128-88. 1992. Test Method for Specific Gravity and Adsorption of Fine Aggregate. Annual Book of ASTM Standards. USA
- ASTM C 131-89. 1992. Test Method for Resistance to Degradation of Small-Size Coarse Aggregates by Abrasion and Impact in the Los Angeles Machine. Annual Book of ASTM Standards. USA
- ASTM C 136-84a. 1992. Standard Method for Sieve Analysis of Fine and Coarse Aggregates. Annual Book of ASTM Standards. USA
- ASTM D 5-86. 1992. Standard Test Method for Penetration of Bituminous Materials. Annual Book of ASTM Standards. USA
- ASTM D 113-86. 1992. Standard Test Method for Ductility of Bituminous Materials. Annual Book of ASTM Standards. USA
- ASTM D 1559-89. 1992. Standard Test Method for Resistance to Plastic Flow of Bituminous Mixtures Using Marshall Apparatus. Annual Book of ASTM Standards. USA
- ASTM D 242. 1992. Standard Specification for Mineral Filler For Bituminous Paving Mixtures. Annual Book of ASTM Standards. USA
- Bayındırlık ve İskan Bakanlığı, 1994. Yollar Fenni Şartnamesi (Yol Alt Yapıları, Sanat Yapıları, Köprü, Tünel ve Üst Yapı İşleri), Karayolları Genel Müdürlüğü Matbaası, Ankara
- Bayındırlık ve İskan Bakanlığı, 1999. Bayındırlık ve İskan Bakanı Koray AYDIN' in 2000 Mali Yılı Bütçe Kanunu Tasarısını TMMM Genel Kuruluna Sunuş Konuşması, Ankara

- Capper, P. L., Cassie, W. F. (çeviren Kumbasar, V., Kip, F.), 1973. İnşaat Mühendisliğinde Zemin Mekanığı, Çağlayan Kitapevi, İstanbul
- Chen, J. S., Shiu, P., Chun, H., 1998. Analyses of Tensile Failure Properties of Asphalt-Mineral Filler Mastics, Journal of Materials in Civil Engineering, Natl Cheng-Kung Univ, Tainan, Taiwan
- Dukatz, E. L., Anderson, D. A., 1970. The Effect of Various Fillers on The Mechanical Behavior of Asphalt and Asphaltic Concrete, Vol:38:46-58
- Güngör, M. M., 1996. Afşin Elbistan Uçucu Külünün Esnek Yol Kaplamalarında Filler Olarak Kullanımı Üzerine Bir Araştırma, Fırat Üniversitesi Fen Bilimleri Enstitüsü, Yüksek Lisans Tezi, Elazığ
- Harris B. M., Stuart K. D., 1996. Analysis of Mineral Fillers and Mastics Used in Stone Matrix Asphalt, Asphalt Paving Technology, Association of Asphalt Paving Technologists Proceeding of the Technical Sessions. v 64, Assoc of Asphalt Paving Technologists , Maplewood, MN, USA. P 54-95
- Ishai, I., Graus, J., Sides, A., 1980. A Model for Relating Filler Properties to Optimal Behavior of Bituminous Mixtures, Proc.Assosiation of Asphalt Paving Technologists. Vol:49:416-436
- Kandhal, P. S., Lynn, C., Parker, F., 1998. Characterization Tests for Mineral Fillers Related to Performance of Asphalt Paving Mixtures, Transportation Research Record, pp. 101-110, Auburn Univ. Auburn, AL, USA
- Karaşahin, M., 1993. Resilient Behavior of Granular Materials of Analysis of Highway Pavements. PhD Thesis. Department of Civil Engineering. University of Nottingham. England. 312p.
- Karaşahin, M., 1994. Bitümlü Karışımının Mekanik Özelliklerinin Laboratuarda Ölçülmesi, 15. Yıl Sempozyumu, Çukurova Üniversitesi Mühendislik-Mimarlık Fakültesi, Adana
- Karaşahin, M., Tiğdemir, M., Fincanoğlu, A., Saltan, M., 1997. Asfalt Betonu Karışımında Pomzanın Filler Malzemesi Olarak Değerlendirilmesi, I. Isparta Pomza Sempozyumu, Isparta
- Kumbasar, V., Kumbasar, F., Önalp, A., 1969. Yol Mühendisleri için Zemin Mekanığı, İ.T.Ü. İnşaat Fakültesi, İstanbul
- Mogawer, W. S., Stuart, K. D., 1996. Effect of Mineral Fillers on Properties of Stone Matrix Asphalt Mixtures, Transportation-Research-Record. N 1530, P 86-94
- Okuyucu, H., 1996. The Permeability of Asphaltic Concrete Mixtures Under Pressure and The Effect of Filler/Bitumen Ratio on Permeability, A Thesis Submitted to The Graduate School of Natural and Applied Sciences of The Middle East Technical University, Ankara
- Önal, M. A., Aray, S., Aşık, İ., 1996. Yüksek Plastisiteli Fillerin Bitümlü Sıcak Karışımının Kohezyonuna Etkisi, I. Ulusal Asfalt Sempozyumu, s.90-102, Ankara
- Önal, M. A., Kahramangil, M., 1993. Bitümlü Karışım El Kitabı, Bayındırılık ve İskan Bakanlığı Karayolları Genel Müdürlüğü Matbaası, Ankara
- Puzinauskas, V. P., 1983. Filler in Asphalt Mixtures, The Asphalt Institute, Research Report No: 69/2, Maryland, USA
- Saltan, M., 1999. Esnek Üstyapıların Analitik Değerlendirilmesi, Doktora Tezi, SDÜ Fen Bilimleri Enstitüsü, s.202, Isparta

- Sayed, M.H., Madany, I.M., Buali, R.M. 1995. Use of sewage sludge ash in asphaltic paving mixtures in hot regions, Construction and Building Materials. V9 n1, pp 19-23
- Shahrour, A. M., Saloukeh, G. B., 1992. Effect of Quality and Quantity of Locally Produced Filler (Passing Sieve No. 200) on Asphalt Mixtures in Dubai, Effects of Aggregates and Mineral Fillers on Asphalt Mixture Performance: ASTM STP 1147, American Society for Testing and Materials, Philadelphia, s 187-208
- Suhaibani, A., Mudaiheem. J., Fozan, F., 1992. Effect of Filler Type and Content on Properties of Asphalt Concrete, Effects of Aggregates and Mineral Fillers on Asphalt Mixture Performance: ASTM STP 1147, American Society for Testing and Materials, Philadelphia, s 107-130
- Şentürk, A., Gündüz, L., Tosun, Y. İ., Sarışık, A., 1996. Mermer Teknolojisi, SDÜ Mühendislik-Mimarlık Fakültesi Maden Mühendisliği Bölümü, Isparta
- Tayebali, A. A., Malpass, G. A., Khosla, N. P., 1998. Effect of Mineral Filler Type and Amount on Design and Performance, Transportation Research Record. N 1609, pp 36-43
- Tığdemir, M., 1999. Bitümlü Malzemelerin Mekanik Özelliklerinin Parametrik İncelenmesi, S.D.Ü. Fen Bilimleri Enstitüsü, Doktora Tezi, 105s, Isparta
- Tığdemir, M., Karaşahin, M., Kurbanoğlu, C., 1998. Asfalt Betonu Testi İçin Devirli Bir İndirekt Çekme Aletinin Geliştirilmesi, S.D.Ü. Fen Bilimleri Enstitüsü Dergisi, Cilt 3, Sayı 1, sayfa:43-51, Isparta
- TS 118. 1998. Petrol Ürünleri-Bitümler ve Bitümlü Bağlayıcılar-İğne Penetrasyonu Tayini. Türk Standartları Enstitüsü. Ankara
- TS 119. 1977. Bitümlü Maddelerin Duktilite Deneyi İçin Metot. Türk Standartları Enstitüsü. Ankara
- Tunnicliff, D. G., 1962. A Review of Mineral Fillers. Proc. Assosiation of Asphalt Paving Technologists. Vol:34:214-236
- Tyson, S. S. PE., 1993. Present and Future Use of Coal Ash in Construction, Utilization of Industrial By Products for Construction Materials Proc. ASCE Natl. Conc. Expo., Publ be ASCE, New York, NY, USA. p 1-14
- Umar, F., Ağar, E., 1991. Yol Üstyapısı, İstanbul Teknik Üniversitesi İnşaat Fakültesi Matbaası, İstanbul

## ÖZGEÇMİŞ

Adı Soyadı : Serdal TERZİ

Doğum Yeri : Ankara

Doğum Yılı : 1977

Medeni Hali : Bekar

### Eğitim ve Akademik Durumu:

Lise 1990-1994 Ankara İnşaat Teknik Lisesi

Lisans 1994-1998 SDÜ Teknik Eğitim Fakültesi Yapı Eğitimi Bölümü

Yabancı Dil : İngilizce

### İş Deneyimi:

1999-..... (Arş.Gör) SDÜ Teknik Eğitim Fakültesi

**EKLER**



## **Ek-1 Mermi Filler Karışımının Marshall Stabilite Deneyi Sonuçları**

Bitim Oranı	Tip	Yükseklik (mm)	Ağırlık (gr)	MARSHALL				Ortalama Akma (1/100 inç)
				Basınç (kN)	Akma (1/100 inç)	Düzeltilmiş Basınç (kN)	Ortalama Basınç (kN)	
% 3,5	1	66,4	1229,4	13,42	11,5	0,936	12,56	10,764
	2	66,5	1240,9	12,56	14,6	0,934	11,73	13,636
	3	66,8	1433,5	9,98	20,0	0,928	9,26	18,560
% 4,0	1	66,5	1247,4	14,40	21,3	0,934	13,45	19,894
	2	67,1	1238,7	11,40	20,7	0,920	10,49	11,53
	3	66,3	1241,8	11,35	22,5	0,938	10,65	21,105
% 4,5	1	66,7	1231,2	11,46	20,5	0,930	10,66	19,065
	2	66,7	1215,0	14,65	18,9	0,930	13,62	11,89
	3	66,8	1230,2	12,26	25,2	0,928	11,38	23,386
% 5,0	1	66,0	1238,6	13,93	21,8	0,943	13,14	20,557
	2	65,1	1242,1	11,74	20,4	0,960	11,27	12,55
	3	64,6	1241,7	13,62	24,0	0,973	13,25	23,352
% 5,5	1	65,4	1225,6	10,19	23,1	0,954	9,72	22,037
	2	66,5	1243,4	12,13	26,3	0,934	11,33	10,82
	3	66,7	1253,4	12,26	23,8	0,930	11,40	22,134
% 6,0	1	68,0	1273,7	9,49	31,5	0,898	8,52	28,287
	2	65,0	1245,2	10,45	23,0	0,963	10,06	22,149
	3	65,6	1249,1	9,98	24,5	0,951	9,49	23,300

## Ek-1 Devam

Bitüm Oranı	Tip	Yükseklik (mm)	Ağırlık (gr)	Sıkıştırılmış Karışının Boşluk Oranı (%)	Ortalama Boşluk Oranı (%)	Numunenin BHA (gr/cm <sup>3</sup> )	Ortalama BHA (gr/cm <sup>3</sup> )	Bağlayıcı ile Dolu Agrega Boşluk Oranı (%)	Ortalama Bağlayıcı ile Dolu Agrega Boşluk Oranı (%)	Ortalama Bağlayıcı ile Dolu Agrega Boşluk Oranı (%)
% 3,5	1	66,4	1229,4	6,55	6,39	2,36	2,36	53,48	54,08	54,08
	2	66,5	1240,9	5,82		2,38		56,37		
	3	66,8	1233,5	6,80		2,35		52,39		
% 4,0	1	66,5	1247,4	4,70	5,26	2,39	2,38	64,61	62,11	62,11
	2	67,1	1238,7	6,22		2,35		57,71		
	3	66,3	1241,8	4,85		2,39		64,00		
% 4,5	1	66,7	1231,2	5,62	6,11	2,35		63,15		
	2	66,7	1215,0	6,87		2,32		58,40		
	3	66,8	1230,2	5,84		2,35		62,23		
% 5,0	1	66,0	1238,6	3,44	2,12	2,39		75,87		
	2	65,1	1242,1	1,81		2,43		85,70		
	3	64,6	1241,7	1,10		2,45		90,93		
% 5,5	1	65,4	1225,6	2,98	2,96	2,39		80,13		
	2	66,5	1243,4	3,20		2,38		78,70		
	3	66,7	1253,4	2,71		2,39		81,28		
% 6,0	1	68,0	1273,7	2,43		2,38		83,82		
	2	65,0	1245,2	0,21	1,15	2,44	2,42	98,41	92,12	92,12
	3	65,6	1249,1	0,82		2,43		94,12		

## **Ek-2 Taştozu Filleri Karışımının Marshall Stabilite Deneyi Sonuçları**

Bitüm Oranı	Tip	Yükseklik (mm)	Ağırlık (gr)	MARSHALL				Ortalama Akma Akma (1/100 inç)
				Basınç (kN)	Akma (1/100 inç)	Düzeltilmiş Katsayı	Ortalama Basınç (kN)	
% 3,5	1	66,6	1227,7	11,35	19,1	0,932	10,58	17,801
	2	65,4	1209,2	12,77	19,2	0,954	12,18	18,317
	3	66,1	1226,1	13,36	15,9	0,941	12,57	14,962
% 4,0	1	65,6	1242,7	12,26	18,0	0,951	11,66	17,118
	2	66,8	1444,2	13,67	22,8	0,928	12,69	21,159
	3	65,4	1261,8	14,24	16,6	0,954	13,58	15,837
% 4,5	1	67,0	1242,7	13,16	19,9	0,923	12,15	18,368
	2	67,1	1257,0	13,49	19,4	0,920	12,41	12,63
	3	66,1	1246,8	13,11	20,4	0,941	13,34	19,196
% 5,0	1	64,7	1251,6	13,93	21,0	0,970	13,51	20,370
	2	65,2	1196,3	10,27	20,8	0,958	9,84	14,27
	3	66,0	1270,8	11,95	21,2	0,943	11,27	
% 5,5	1	66,0	1263,7	10,32	11,6	0,943	9,73	20,369
	2	65,0	1252,0	9,77	17,4	0,963	9,41	10,20
	3	64,0	1246,7	11,61	17,5	0,988	11,47	
% 6,0	1	66,0	1285,6	10,53	30,0	0,943	9,93	28,290
	2	65,3	1243,8	10,37	23,0	0,956	9,91	21,988
	3	66,0	1260,1	10,17	25,5	0,943	9,59	24,047

## Ek-2 Devam

Bitüm Oranı	Tip	Yükseklik (mm)	Ağırlık (gr)	Sıkıştırılmış Karışımın Boşluk Oranı (%)	Ortalama Boşluk Oranı (%)	Nümunenin BHA (gr/cm <sup>3</sup> )	Ortalama BHA (gr/cm <sup>3</sup> )	Bağlayıcı ile Dolu Agrega Boşluk Oranı (%)	Ortalama Bağlayıcı ile Dolu Agrega Oranı (%)
% 3,5	1	66,6	1227,7	6,96	6,67	2,35	51,89	53,36	53,17
	2	65,4	1209,2	6,68		2,36	53,36		
	3	66,1	1226,1	6,38		2,36	54,25		
% 4,0	1	65,6	1242,7	3,76	3,71	2,41	69,83	61,40	70,90
	2	66,8	1444,2	5,38		2,37	61,40		
	3	65,4	1261,8	1,99		2,46	81,48		
% 4,5	1	67,0	1242,7	5,17	4,32	2,36	64,99	69,42	69,20
	2	67,1	1257,0	4,22		2,39	69,42		
	3	66,1	1246,8	3,56		2,40	73,20		
% 5,0	1	64,7	1251,6	0,47	2,33	2,46	95,92	66,19	84,72
	2	65,2	1196,3	5,60		2,38	92,06		
	3	66,0	1270,8	0,93		2,45	93,16		
% 5,5	1	66,0	1263,7	0,87	0,10	2,44	97,74	107,43	99,44
	2	65,0	1252,0	0,28		2,45	2,46		
	3	64,0	1246,7	-0,85		2,48	112,69		
% 6,0	1	66,0	1285,6	-1,46	-0,04	2,48	94,37	85,94	97,67
	2	65,3	1243,8	0,78		2,43	2,45		
	3	66,0	1260,1	0,55		2,43	85,94		

**Ek-3 Filler/Bitüm Oranı Göre Hazırlanan Karışımın Deney Sonuçları**

Filler/Bitüm Oranı	Tip	Yükseklik (mm)	Ağırlık (gr)	Sıkıştırılmış Karışımın Boşluk Oranı (%)	Ortalama Boşluk Oranı (%)	Nümunenin BHA (gr/cm <sup>3</sup> )	Ortalama BHA (gr/cm <sup>3</sup> )	Bağlayıcı ile Dolu Agrega Boşluk Oranı (%)	Ortalama Bağlayıcı ile Dolu Agrega Oranı (%)
<b>4</b>	1	6,65	1241,0	4,38		2,38		69,66	
	2	6,64	1240,1	4,30	4,47	2,38	2,37	70,05	69,55
	3	6,80	1259,1	4,73		2,36		68,94	
<b>5</b>	1	6,64	1243,5	4,04		2,39		71,35	
	2	6,69	1259,7	3,12	3,82	2,40	2,39	77,39	73,22
	3	6,77	1258,9	4,32		2,37		70,93	
<b>6</b>	1	6,50	1229,8	3,05		2,41		77,00	
	2	6,60	1237,2	3,95	3,17	2,39	2,40	71,95	
	3	6,62	1254,2	2,52		2,41		81,05	
<b>7</b>	1	6,56	1250,9	2,29		2,43		81,64	
	2	6,65	1254,7	2,92	2,71	2,40	2,41	78,61	79,60
	3	6,68	1254,6	2,93		2,40		78,56	
<b>8</b>	1	65,1	1248,9	1,55		2,45		86,92	
	2	65,0	1239,0	2,33	2,45	2,43	2,46	81,54	81,29
	3	6,70	1256,9	3,48		2,39		75,40	

**Ek-4 Filler Oranına Göre Hazırlanan Karışımların Deney Sonuçları**

Filler Oranı	Tip	Yükseklik (mm)	Ağırlık (gr)	Sıkıştırılmış Karışımın Boşluk Oranı (%)	Ortalama Boşluk Oranı (%)	Nümunenin BHA (gr/cm³)	Ortalama BHA (gr/cm³)	Bağlayıcı ile Dolu Agrega Boşluk Oranı (%)	Ortalama Bağlayıcı ile Dolu Agrega Oranı (%)
% 0	1	6,64	1188,6	8,275	10,51	2,28	2,22	54,86	50,48
	2	6,80	1124,1	14,95	2,10	2,27		41,27	
	3	6,94	1236,8	8,31				55,34	
% 2	1	6,73	1205,0	8,25		2,28		54,60	
	2	6,92	1249,8	7,07	8,00	2,30	2,28	59,33	56,05
	3	6,94	1231,7	8,68		2,26		54,23	
% 4	1	6,80	1219,5	8,10		2,28		54,79	
	2	6,88	1235,4	7,61	7,65	2,29	2,29	57,70	57,04
	3	6,98	1258,6	7,23		2,30		58,62	
% 6	1	6,75	1218,4	7,51		2,29		56,86	
	2	6,70	1224,7	5,95	6,85	2,32	2,30	64,18	60,27
	3	6,78	1224,3	7,09		2,30		59,77	
% 8	1	6,65	1228,7	5,32	5,87	2,35		65,36	
	2	6,84	1249,3	6,03		2,33	2,34	63,41	63,18
	3	68,7	1256,6	6,27		2,33		60,78	
% 10	1	68,6	1257,1	6,10		2,33		61,48	
	2	67,1	1247,2	4,75	5,24	2,37	2,36	67,66	65,87
	3	6,75	1248,0	4,87		2,36		68,47	

**Ek-5 Değişik Filler Malzemeleri ile Hazırlanan Karışımlarının Deney Sonuçları**

Filler Malzemesi	Tip	Yükseklik (mm)	Ağırlık (gr)	Sıkıştırılmış Karışımın Boşluğ Oranı (%)	Ortalama Boşluğ Oranı (%)	Numunenin BHA (gr/cm <sup>3</sup> )	Ortalama BHA (gr/cm <sup>3</sup> )	Bağlayıcı ile Dolu Ağırlık (gr/cm <sup>3</sup> )	Ortalama Bağlayıcı ile Dolu Ağırlık Oranı (%)
Traverten	1	67,5	1237,7	6,04	4,56	2,34	2,37	62,09	69,17
	2	67,0	1246,9	4,63		2,37		68,25	
	3	65,5	1239,7	3,01		2,41		77,17	
Afyon Gri	1	67,2	1240,4	5,42		2,35		64,72	
	2	66,7	1243,1	4,50	5,01	2,37	2,36	68,99	66,66
	3	66,6	1233,4	5,10		2,36		66,27	
Dolomit	1	67,0	1242,0	5,01		2,36		66,54	
	2	67,1	1244,5	4,96	4,28	2,36	2,38	66,73	70,43
	3	65,6	1243,5	2,88		2,41		78,02	
Supressedene	1	67,7	1242,0	5,99		2,34		62,20	
	2	68,3	1245,7	6,54	5,74	2,32	2,34	59,91	63,33
	3	67,0	1245,9	4,71		2,37		67,89	
Rozalya	1	67,6	1250,7	5,20		2,36		65,54	
	2	67,5	1244,2	5,55	4,68	2,35	2,37	64,07	68,40
	3	65,8	1242,0	3,28		2,40		75,58	
Elazığ Vişne	1	67,4	1245,5	5,31		2,35		65,11	
	2	67,0	1242,3	4,99	4,46	2,36	2,37	66,65	69,48
	3	65,7	1242,5	3,09		2,41		76,67	
Burdur Bej	1	66,2	1243,7	3,73		2,39		72,99	
	2	66,0	1237,6	3,91	4,06	2,39	2,38	72,11	71,33
	3	66,4	1237,0	4,54		2,37		68,90	

## Ek-5 Devam

Bitüm Oranı	Tip	Yükseklik (mm)	Ağırlık (gr)	Sıklaştırılmış Karışımın Boşluk Oranı (%)	Ortalama Boşluk Oranı (%)	Numunenin BHA (gr/cm <sup>3</sup> )	Ortalama BHA (gr/cm <sup>3</sup> )	Bağlayıcı ile Dolu Agrega Boşluk Oranı (%)	Ortalama Bağlayıcı ile Dolu Agrega Oranı (%)
Atık (Tip 1)	1	67,6	1242,6	5,81	5,34	2,34	2,35	62,97	65,16
	2	66,5	1240,5	4,41	5,34	2,38		69,47	
	3	67,5	1240,9	5,80		2,34		63,05	
Atık (Tip 2)	1	68,0	1244,6	6,21		2,33		61,25	61,17
	2	68,0	1248,4	5,93	6,24	2,34	2,33	62,37	
	3	68,1	1241,7	6,57		2,32		59,89	
Atık (Tip 3)	1	69,0	1238,7	8,01		2,29		54,72	59,57
	2	68,4	1228,6	7,96	6,83	2,29	2,29	55,09	
	3	66,4	1237,0	4,54		2,37		68,90	
Atık (Tip 4)	1	68,2	1240,7	6,78		2,32		59,09	65,13
	2	66,0	1241,4	3,62	5,43	2,40	2,35	73,66	
	3	67,5	1239,6	5,90		2,34		62,65	